

Chapter 2 Motion Planning

- 2.1 Introduction
- 2.2 Goal of motion planning, Basic problem and extension and Examples of applications
- 2.3 Brief review of Euclidean Geometry
- 2.4 Basic motion planner

Introduction

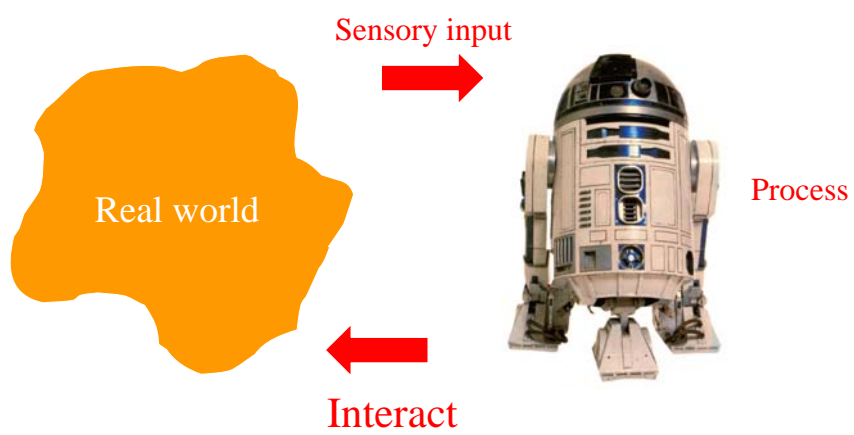
• Robots

Manipulate physical objects in the real world under real physical constraint.

• Computers

Manipulate data in the virtual world under turing computation.

โปรแกรมหุ่นให้ **interact** กับ **real world**
เพื่อให้หุ่นทำงานตามที่เราร้องการ



AI: study of computation that make computers...

Intelligently Perceive, Reason and React.

Marvin Minsky (บิดาแห่ง AI) กล่าวไว้ว่า *“AI is the science of making machines do things that would require intelligence if done by men”*

What is intelligence?

Introduction to Robotics อรรถวิทย์ สุดแสง

บทที่ 2 หน้า 5



Marvin Minsky now believes the field has taken a wrong turn. Rather than trying to build costly, clumsy physical robots, he says, researchers should concentrate their efforts entirely on computer simulations – that’s the key to unraveling the nature of intelligence.

Introduction to Robotics อรรถวิทย์ สุดแสง

บทที่ 2 หน้า 6

Manipulate an Object

1. เคลื่อนหุ่นให้เข้าใกล้วัตถุเพียงพอที่จะดำเนินการต่อไป
2. หยิบ จับ ผลัก หรือทำอย่างไรก็ตามให้วัตถุไปอยู่ในลักษณะที่ต้องการ

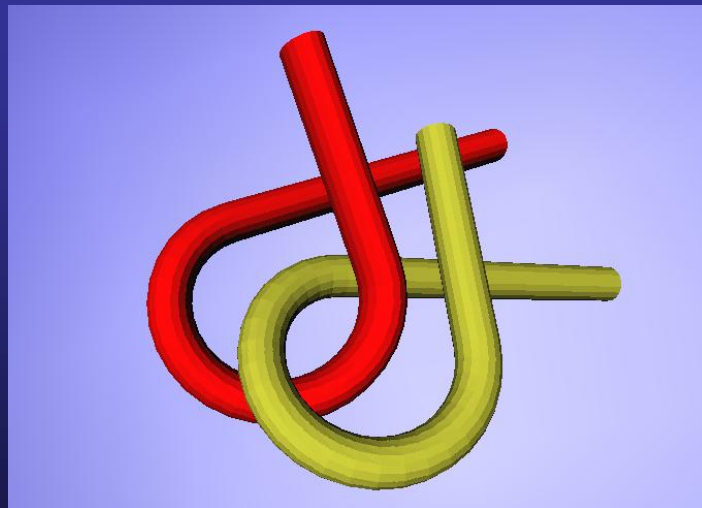
ในบทนี้เราจะพิจารณาขั้นตอนที่ 1

ซึ่งรู้จักกันในชื่อว่า Motion Planning

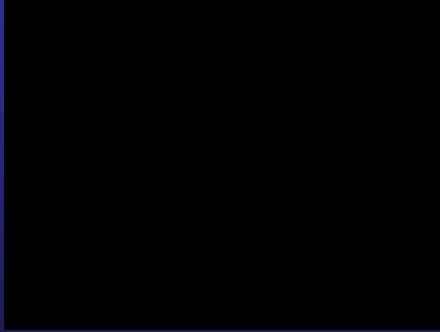
Goal of Motion Planning

- Compute **motion strategies**, e.g.:
 - geometric paths
 - time-parameterized trajectories
 - sequence of sensor-based motion commands
- To achieve **high-level goals**, e.g.:
 - go to A without colliding with obstacles
 - assemble product P
 - build map of environment E
 - find object O

ตัวอย่างการวางแผนการเคลื่อนที่



A Solution



Using an RRT based motion planner program. It takes a few minute on a PC (2003).

Motion planning is not trivial:

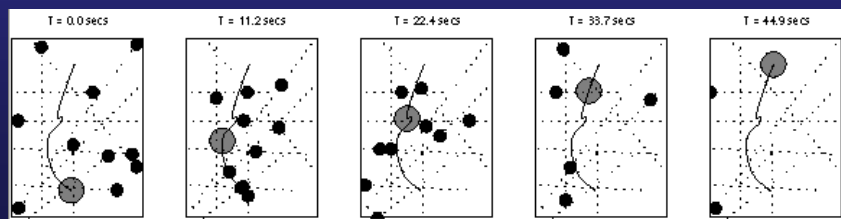
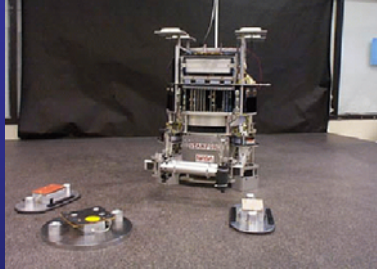
Basic Problem

- **Statement:**
Compute a collision-free path for a rigid or articulated object (the robot) among static obstacles
- **Inputs:**
 - Geometry of robot and obstacles
 - Kinematics of robot (degrees of freedom)
 - Initial and goal robot configurations (placements)
- **Outputs:**
 - Continuous sequence of collision-free robot configurations connecting the initial and goal configurations

Some Extensions to the Basic Problem

- Moving obstacles
- Multiple robots
- Movable objects
- Assembly planning
- Goal is to acquire information by sensing
 - Model building
 - Object finding/tracking
- Nonholonomic constraints
- Dynamic constraints
- Optimal planning
- Uncertainty in control and sensing
- Exploiting task mechanics (sensorless motions)
- Physical models and deformable objects
- Integration of planning and control

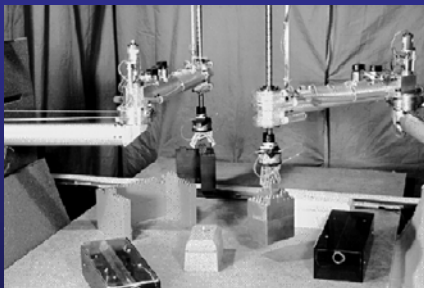
Moving Obstacles and Dynamic Constraints



Introduction to Robotics อรรถวิทย์ สุคนแสง

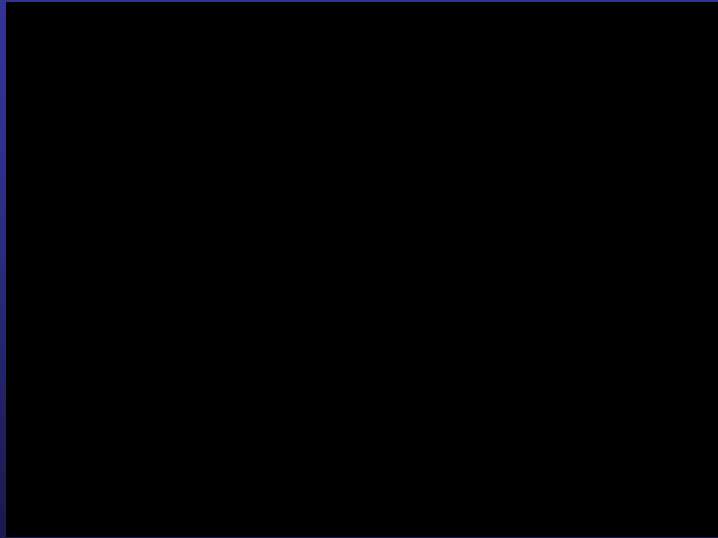
บทที่ 2 หน้า 15

Planning in Dynamic Unpredictable Environment



Introduction to Robotics อรรถวิทย์ สุคนแสง

บทที่ 2 หน้า 16



Introduction to Robotics อรรถวิทย์ สุดแสง

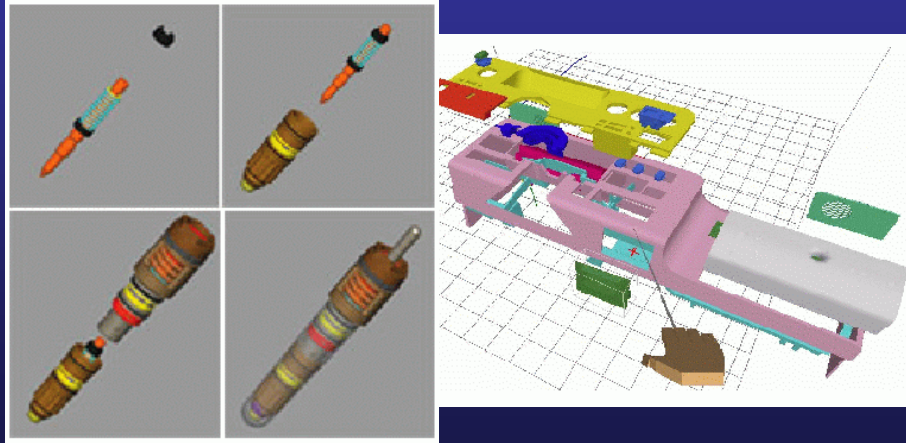
บทที่ 2 หน้า 17



Introduction to Robotics อรรถวิทย์ สุดแสง

บทที่ 2 หน้า 18

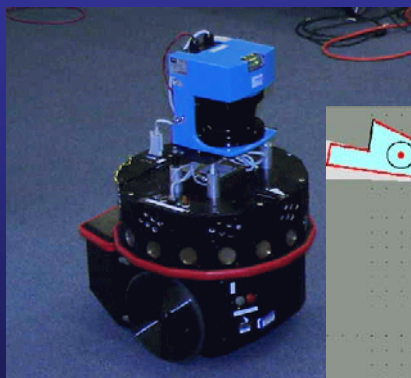
Assembly Planning



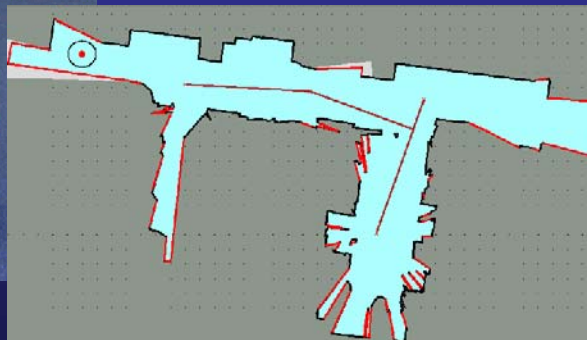
Introduction to Robotics อรรถวิทย์ สุคนแสง

บทที่ 2 หน้า 19

Map Building



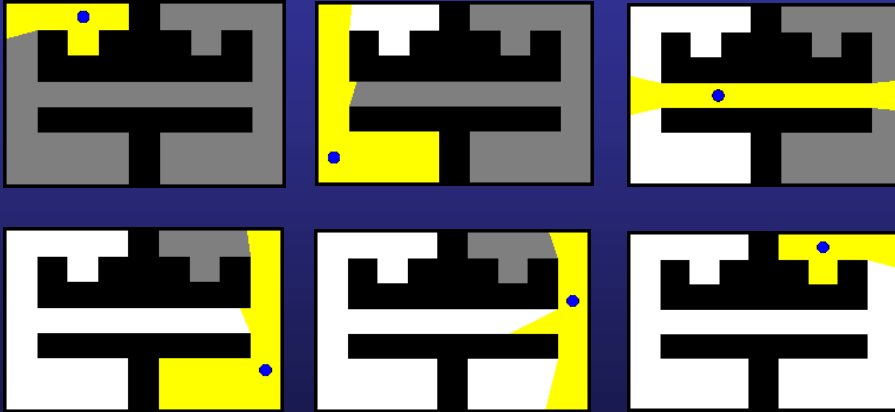
Where to move next?



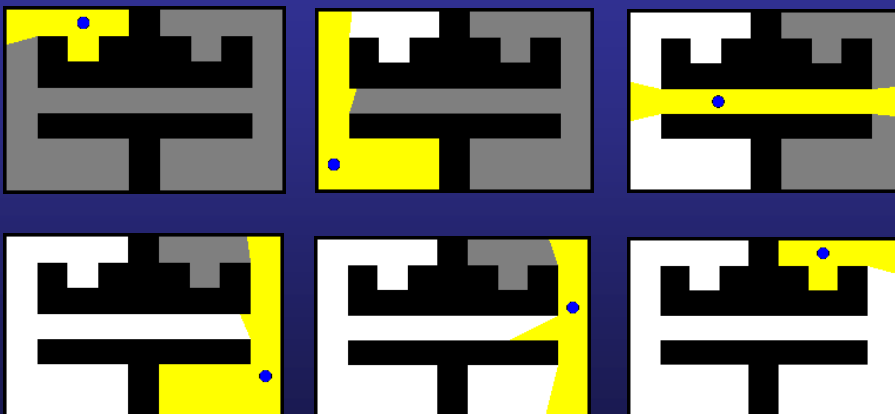
Introduction to Robotics อรรถวิทย์ สุคนแสง

บทที่ 2 หน้า 20

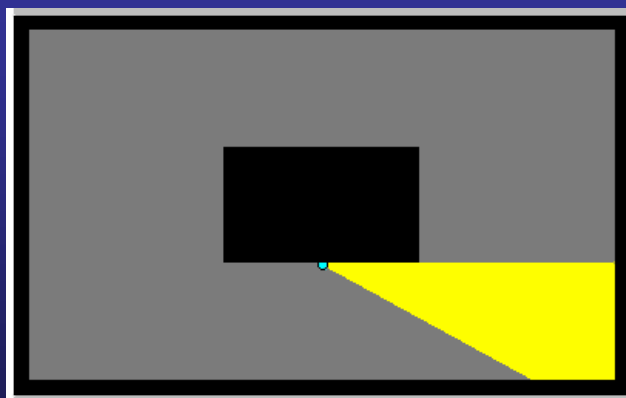
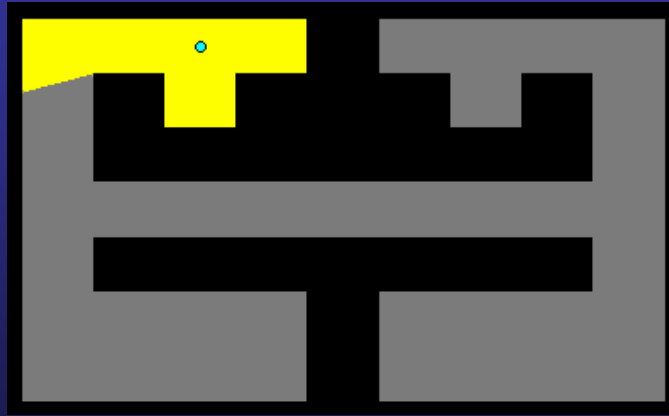
Planning Target-Finding Strategies



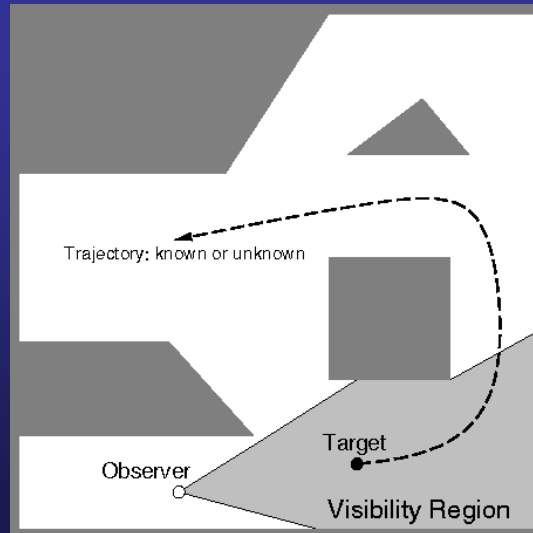
Planning Target-Finding Strategies



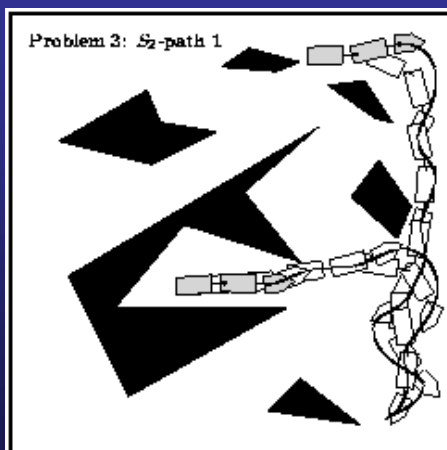
The animation shows how it works



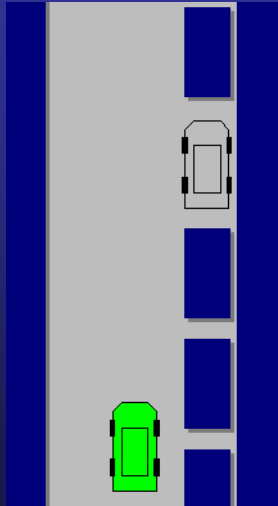
Planning Target-Tracking Strategies



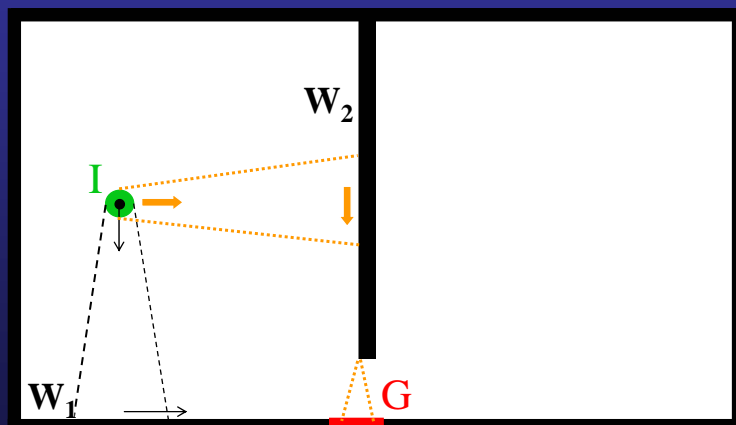
Planning for Nonholonomic Robots



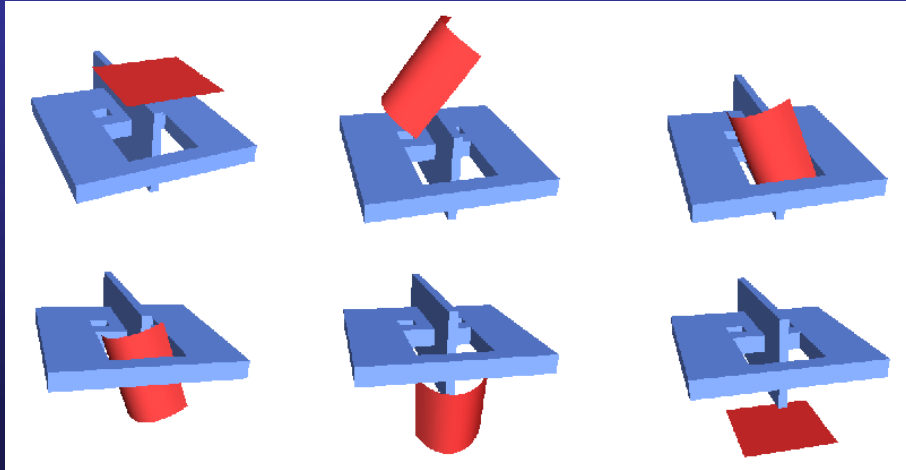
An example of nonholonomic motion planning:
Parallel Park



Planning with Uncertainty in Sensing and Control



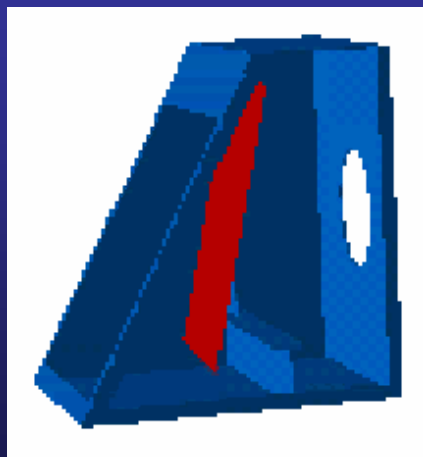
Motion Planning for Deformable Objects



Introduction to Robotics อรรถวิทย์ สุลแสง

บทที่ 2 หน้า 29

An animation shows how the flexible plate moves.



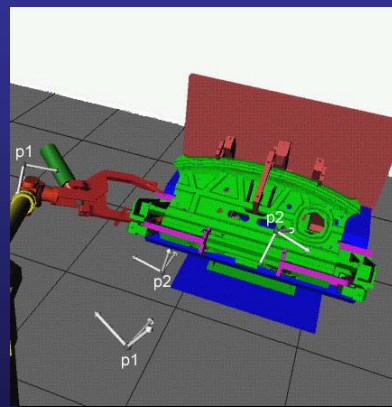
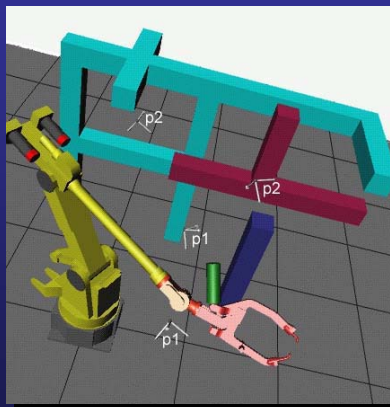
Introduction to Robotics อรรถวิทย์ สุลแสง

บทที่ 2 หน้า 30

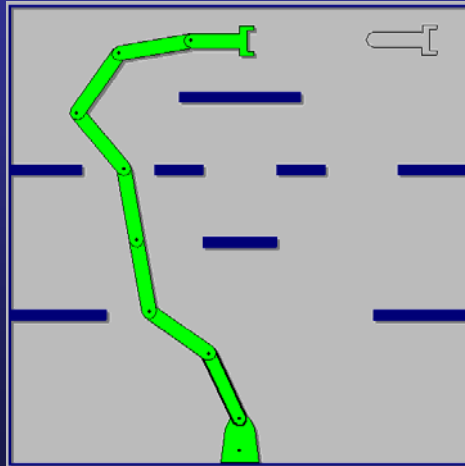
Examples of Applications

- Manufacturing:
 - Robot programming
 - Robot placement
 - Design of part feeders
- Design for manufacturing and servicing
- Design of pipe layouts and cable harnesses
- Autonomous mobile robots planetary exploration, surveillance, military scouting
- Graphic animation of “digital actors” for video games, movies, and webpages
- Medical surgery planning
- Generation of plausible molecule motions, e.g., docking and folding motions
- Building code verification

Robot Programming and Robot Placement



Multiple joint linkage

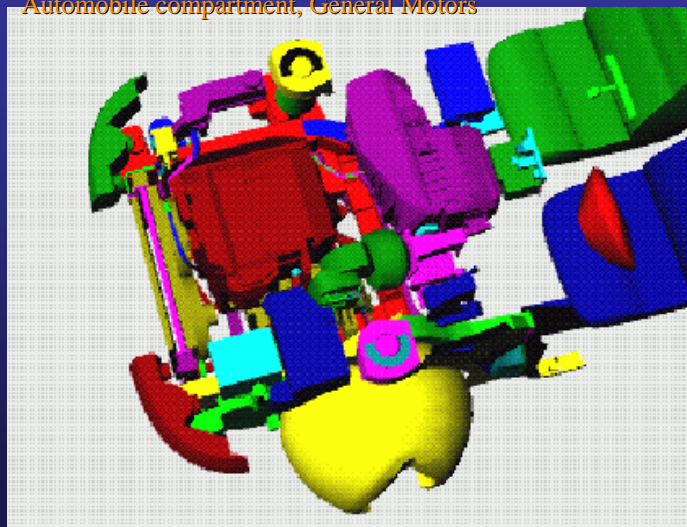


Introduction to Robotics อรรถวิทย์ สุคนแสง

บทที่ 2 หน้า 33

Design for Manufacturing

Automobile compartment, General Motors

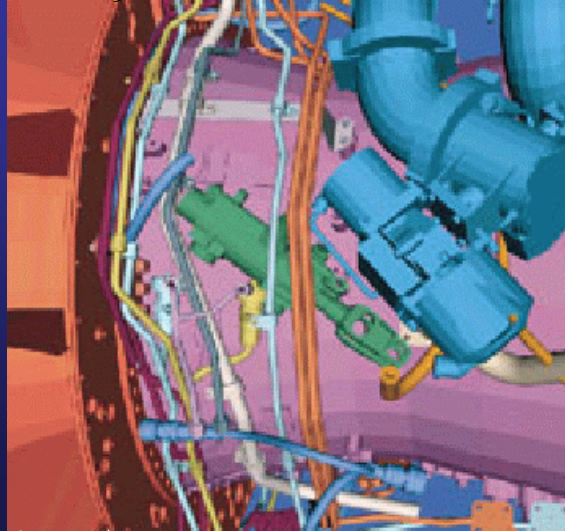


Introduction to Robotics อรรถวิทย์ สุคนแสง

บทที่ 2 หน้า 34

Design for Maintainability

Aircraft engine, General Electric



Introduction to Robotics อรรถวิทย์ สุดแสง

บทที่ 2 หน้า 35

Military Scouting in Outdoor Environment



Introduction to Robotics อรรถวิทย์ สุดแสง

บทที่ 2 หน้า 36

Digital Actors



A Bug's Life (Pixar/Disney)



Toy Story (Pixar/Disney)



Antz (Dreamworks)



Tomb Raider 3 (Eidos Interactive)



The Legend of Zelda (Nintendo)



Final Fantasy VIII (SquareOne)

Introduction to Robotics อรรถวิทย์ สุดแสง

บทที่ 2 หน้า 37

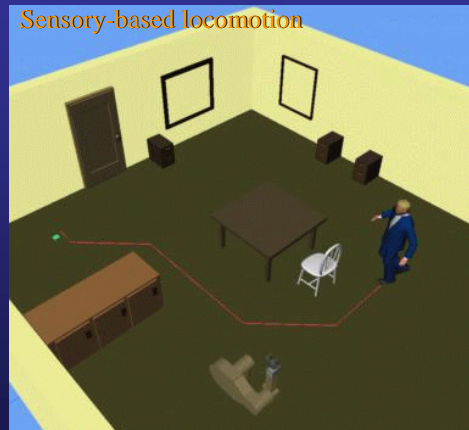
Motion Planning for Digital Actors

Manipulation



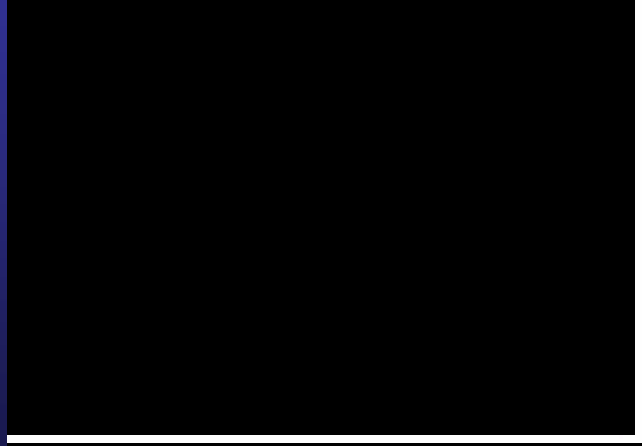
Introduction to Robotics อรรถวิทย์ สุดแสง

Sensory-based locomotion

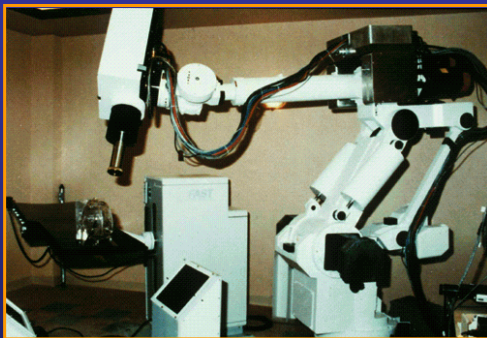


บทที่ 2 หน้า 38

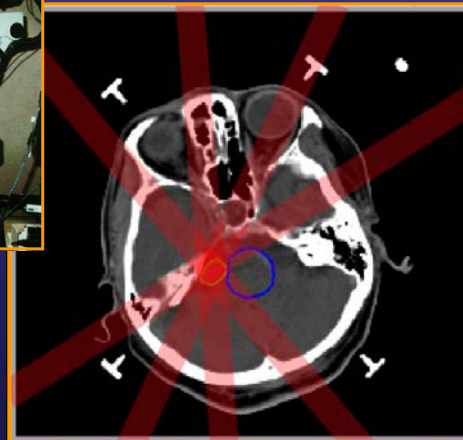
End Game 1997

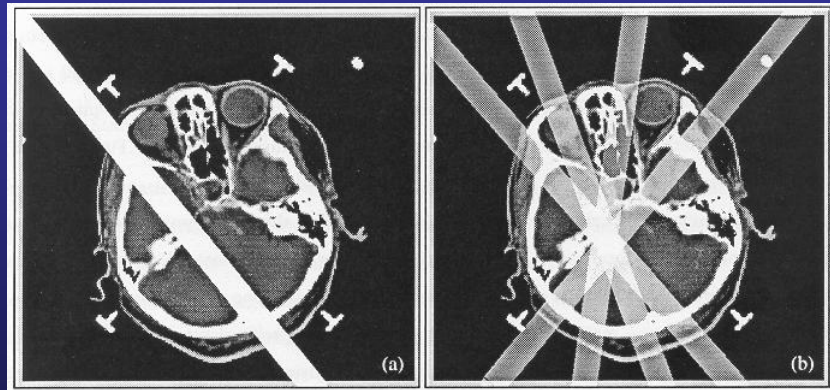


Radiosurgical Planning

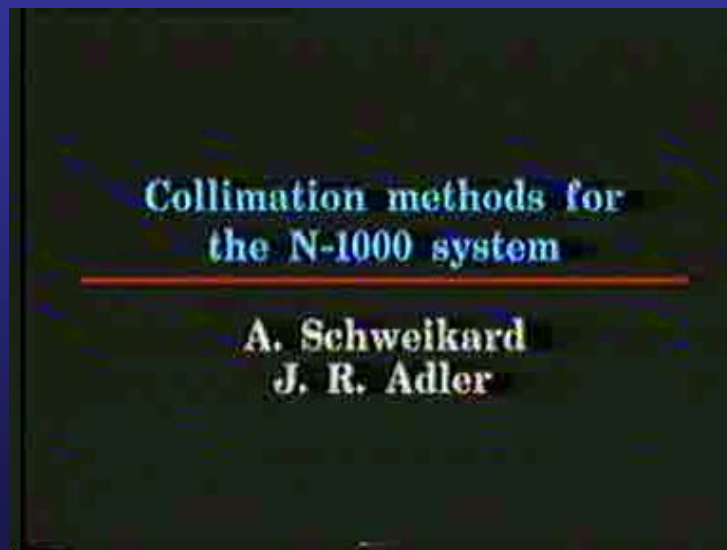


Cross-firing at a tumor
while sparing healthy
critical tissue

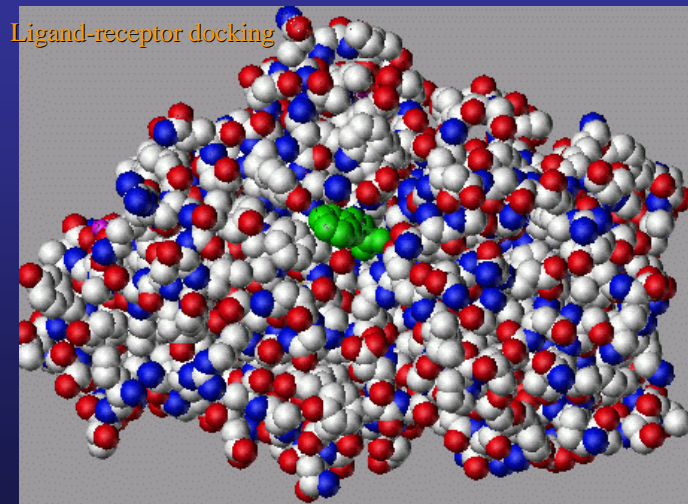




Radisurgery



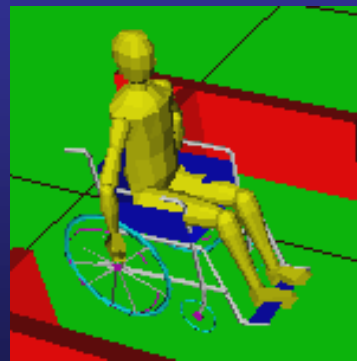
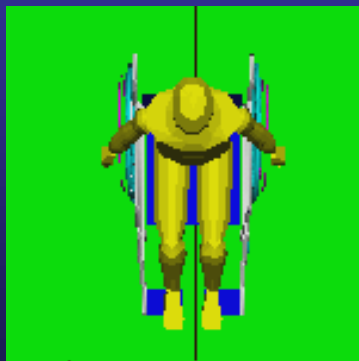
Generation of Plausible Docking Motions



Introduction to Robotics อรรถวิทย์ สุคนแสง

บทที่ 2 หน้า 43

Building Code Verification



Introduction to Robotics อรรถวิทย์ สุคนแสง

บทที่ 2 หน้า 44

Geometry review

- Analytical geometry
- Affine geometry
- Euclidean geometry

Affine Geometry

Components

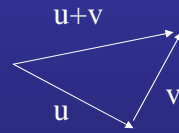
- Scalar (S)
- Point (P)
- Free vector (V)

Allowed operations

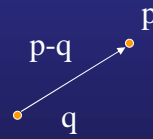
- $S * V \rightarrow V$
- $V + V \rightarrow V$
- $P - P \rightarrow V$
- $P + V \rightarrow P$

Examples

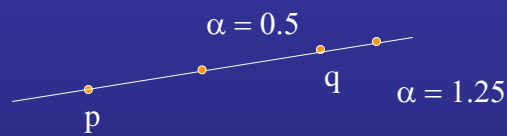
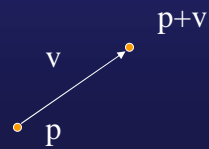
Vector addition



Point subtraction



Point-vector addition



จุดใดๆบนเส้นตรงที่ลากผ่านจุด p และ q สามารถสร้างได้จาก affine combination:

$$\mathbf{r} = \mathbf{p} + \alpha \cdot (\mathbf{q} - \mathbf{p})$$

Euclidean Geometry

- In affine geometry, angle and distance are not defined.
- Euclidean geometry is an extension providing an additional operation called “inner product”
- There are other types of geometry that extends affine geometry such as projective geometry, hyperbolic geometry...

Inner product is a mapping from two vectors to a real number.

$$\mathbf{u} = \begin{pmatrix} u_1 \\ u_2 \\ \vdots \\ u_d \end{pmatrix}, \mathbf{v} = \begin{pmatrix} v_1 \\ v_2 \\ \vdots \\ v_d \end{pmatrix}$$

Dot product

$$\mathbf{u} \cdot \mathbf{v} = \sum_{i=1}^d u_i v_i$$

Length

$$|\mathbf{u}| = \sqrt{\mathbf{u} \cdot \mathbf{u}}$$

Distance

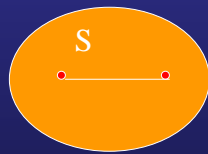
$$\text{dist}(\mathbf{P}, \mathbf{Q}) = |\mathbf{P} - \mathbf{Q}|$$

Angle

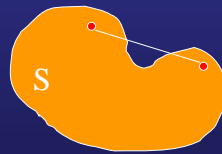
$$\text{ang}(\mathbf{u}, \mathbf{v}) = \cos^{-1} \left(\frac{\mathbf{u} \cdot \mathbf{v}}{|\mathbf{u}| |\mathbf{v}|} \right)$$

Orthogonality: \mathbf{u} and \mathbf{v} are orthogonal when $\mathbf{u} \cdot \mathbf{v} = \mathbf{0}$

Let S be a set of points, S is **convex** when for any pair of points p and q , the line segment joining p and q is also contained in S



Convex set

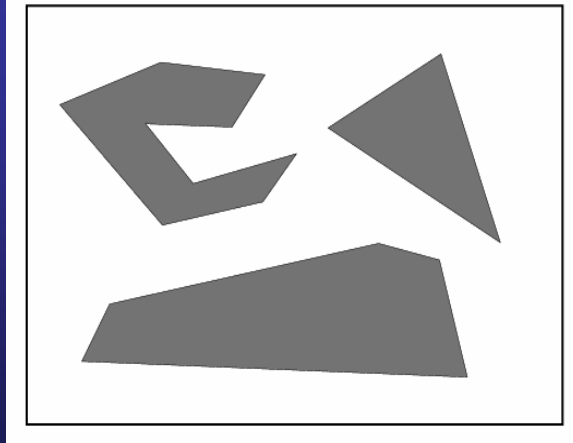


Non-convex set

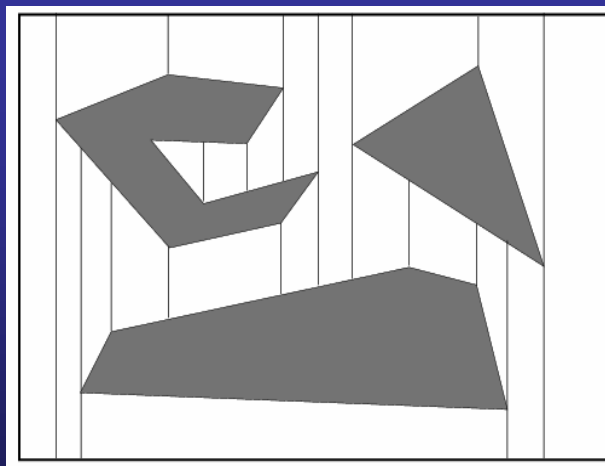
Basic Motion Planner

- Basic Concept
- Sweep Line Algorithm
- Visibility Graph
- Minkowski Sum

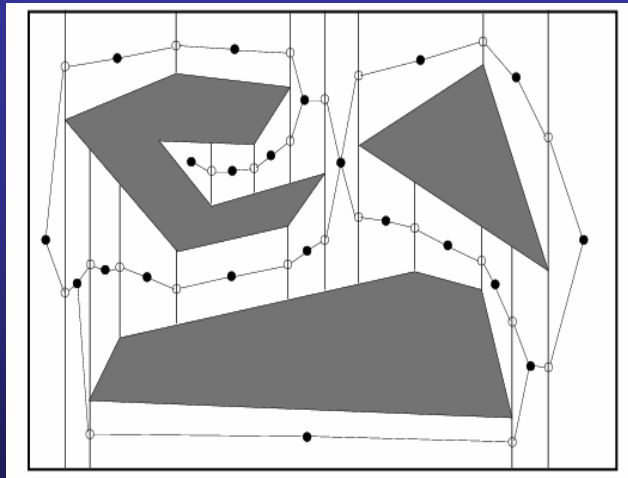
ก่อนอื่นพิจารณาการวางแผนการเคลื่อนที่หุ่นยนต์จุด



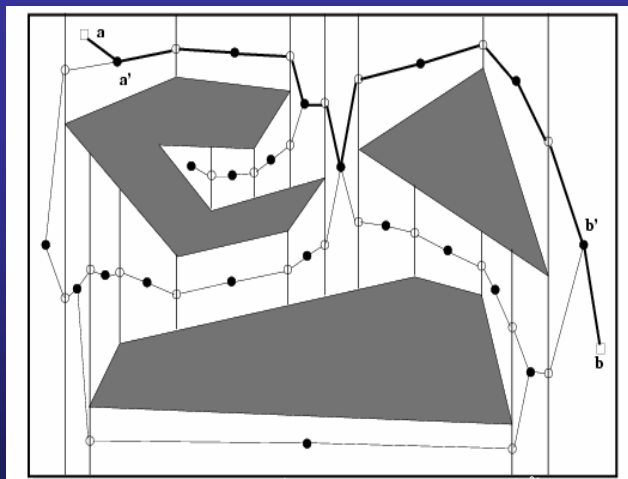
บริเวณทำงาน (workspace) แบ่งเป็นสิ่งกีดขวาง (obstacle) และ
บริเวณอิสระ (free space)



สร้างแผนผังสี่เหลี่ยมคางหมู (trapezoidal map) ของบริเวณอิสระด้วยการหั่นพื้นที่
ห้องที่ไม่ถูกรบกวนด้วยสิ่งกีดขวางตามแนวตั้งออกเป็นสี่เหลี่ยมคางหมู โดยใช้พิกัดตาม
แกน x ของจุดยอดของสิ่งกีดขวางเป็นตำแหน่งหั่น

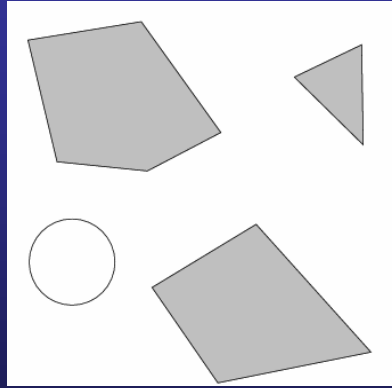


สร้างแผนที่ทางเดิน (road map) จากแผนผังสิ่งเหลื่อมคางหมู ซึ่งก็คือกราฟที่
บรรยายลักษณะการอยู่ติดกันของสิ่งเหลื่อมคางหมูที่อยู่ในแผนผัง

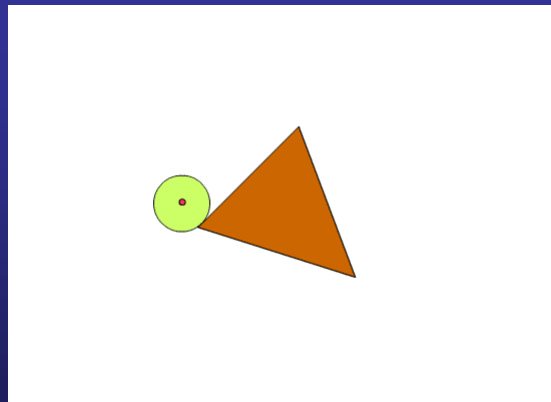


ใช้การค้นหา เพื่อหาเส้นทางเดินจากจุดเริ่มต้นไปยังจุดหมาย โดยขั้นแรกจะต้องหาว่า
จุดเริ่มต้นและจุดหมายอยู่ในสิ่งเหลื่อมคางหมูใดเมื่อทราบแล้ว จึงทำการค้นหาเส้นทาง
ระหว่างจุดยอดของสิ่งเหลื่อมคางหมูทั้งสองในแผนที่ทางเดินที่ได้จากขั้นที่สอง

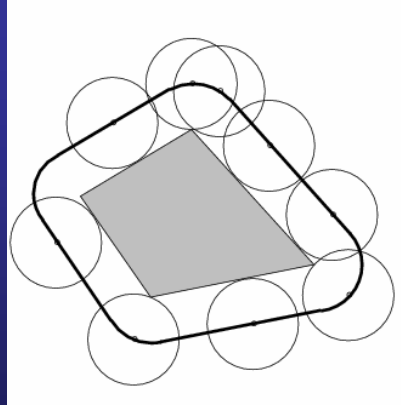
ต้องทำอะไรหากไม่ใช่หุ่นยนต์จุด



พิจารณาหุ่นยนต์รูปกลมในบริเวณทำงานที่มีสิ่งกีดขวางรูปหลายเหลี่ยม



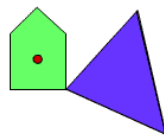
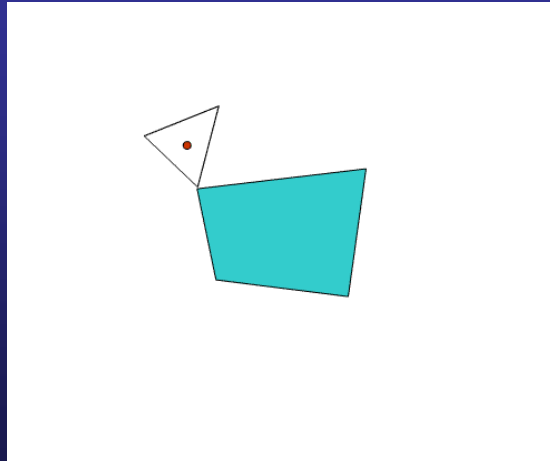
พิจารณา animation ของหุ่นยนต์รูปกลมที่เคลื่อนที่โดยไม่ชนสิ่งกีดขวาง



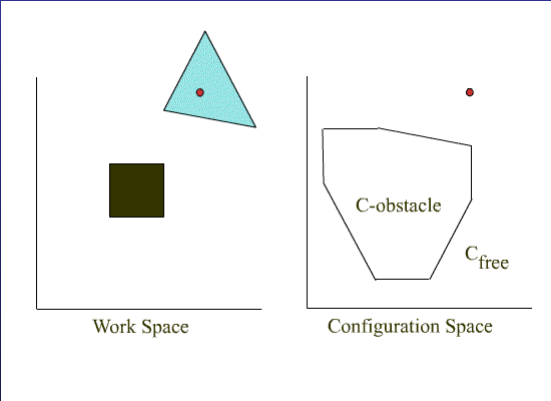
หุ่นยนต์กลมไม่ชนหรือทะลุสิ่งกีดขวางถ้าจุดศูนย์กลางของหุ่นไม่เลยเข้าไปในขอบโค้ง

วางแผนการเคลื่อนที่ของหุ่นยนต์รูปกลมทำอย่างไรดี?

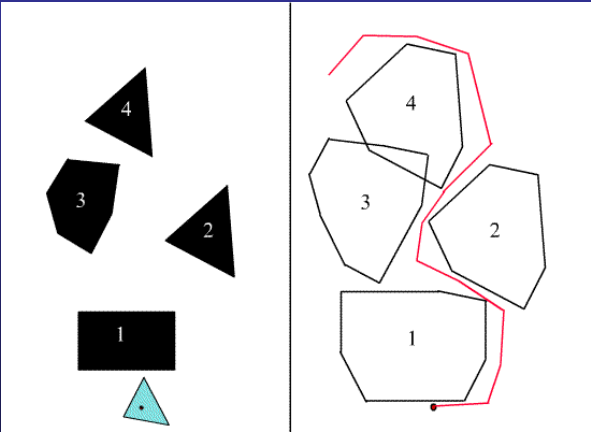
แล้วถ้าหุ่นยนต์เป็นรูปหลายเหลี่ยมที่เคลื่อนได้แต่หมุนไม่ได้ล่ะ?



C-Obstacle



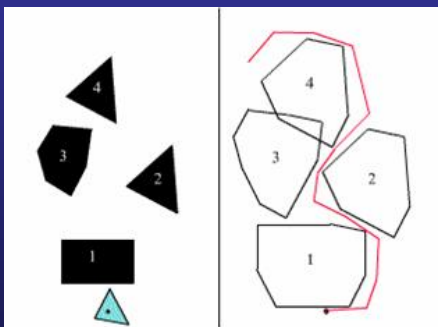
แล้วสิ่งกีดขวางหลายชิ้นล่ะ



สรุป

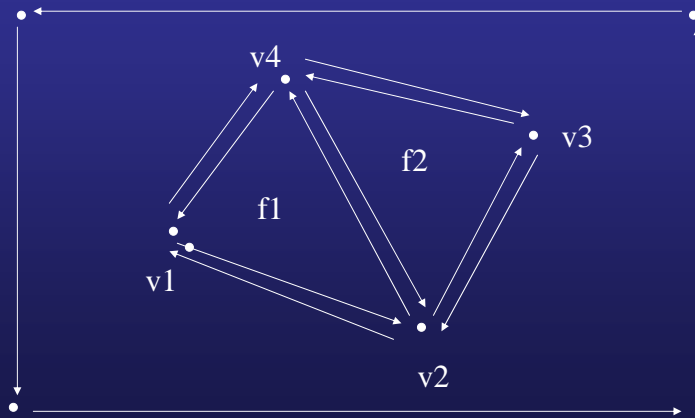
- สำหรับสิ่งกีดขวางและหุ่นยนต์รูปหลายเหลี่ยมคอนเวกซ์ เราสามารถสร้างสิ่งกีดขวางใหม่ในอีกระนาบ (ที่เราจะเรียกว่า C-Space) ทำให้เราวางแผนการเคลื่อนที่ได้โดยมองหุ่นยนต์เป็นจุดและใช้การวางแผนการเคลื่อนที่ของหุ่นยนต์จุดที่กล่าวไปแล้ว
- สิ่งกีดขวางใหม่ในระนาบ C-Space สามารถคำนวณได้โดยใช้ผลรวมมิงคอฟสกี (Minkowski sum)

Implementation



ออกแบบ data structure ที่ใช้แทน polygon แล้วทำให้เราสามารถทำ operation ที่ต้องการเช่น union, intersection ได้อย่างมีประสิทธิภาพ

Doubly-connected edge list



Components

Vertex table

Vertex	Coordinates	Incident Edge

Face table

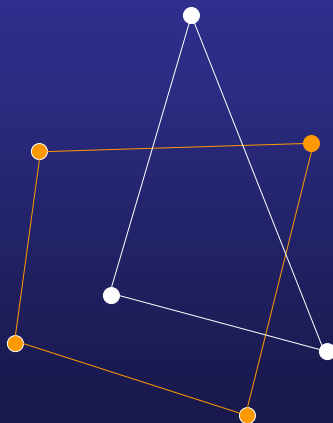
Face	Outer	Inner

Components (cont)

Half-edge table

Half-edge	Origin	Twin	Incident face	Next	Prev

Intersection and union of polygons



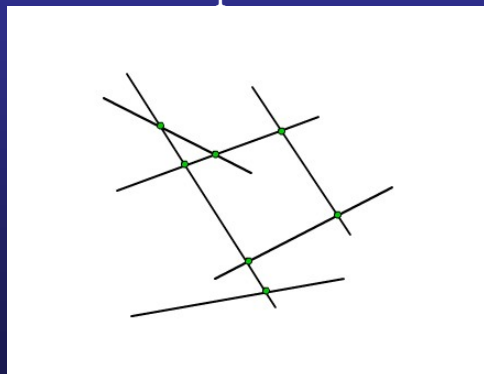
Sweep line algorithm

- Sweep (or rotate) a line through all inputs.
- Partially construct the result during the sweep.
- Previously constructed result is not affected by the un-swept input.
- Using event points to mark when to do what.

Line segment intersection

Input: n line segments

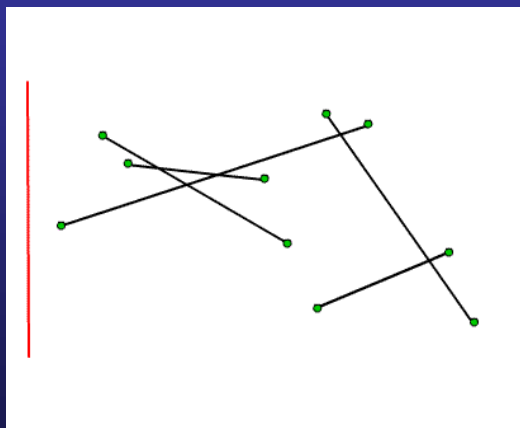
Output: all intersection points



A naive algorithm takes $O(n^2)$ to compute intersection points for all pairs of n segments.

We can do better...

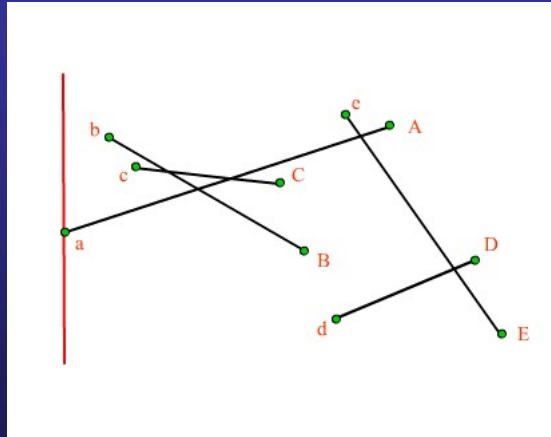
Sweeping...



Let's trace...

Intersect:

aA

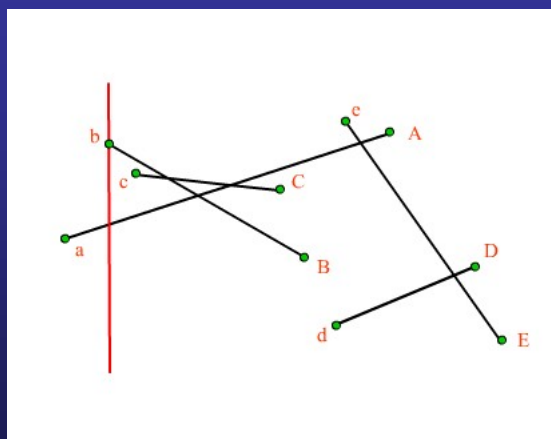


Event: a b c C B d e A D E

Let's trace...

Intersect:

aA



Insert ab
Add bB

Event: b c C B d e A D E

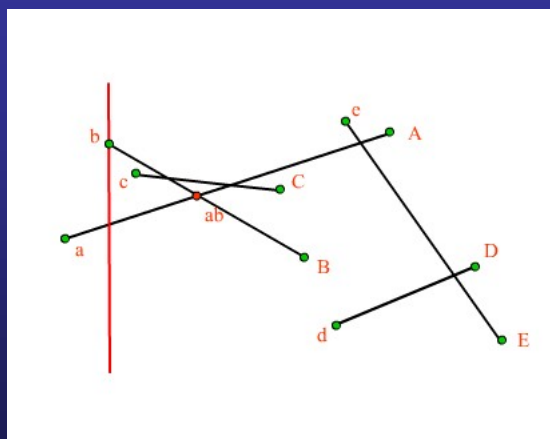
Key: two segments intersect, they must be adjacent in the intersection list at certain moment.

Let's trace...

Intersect:

bB

aA



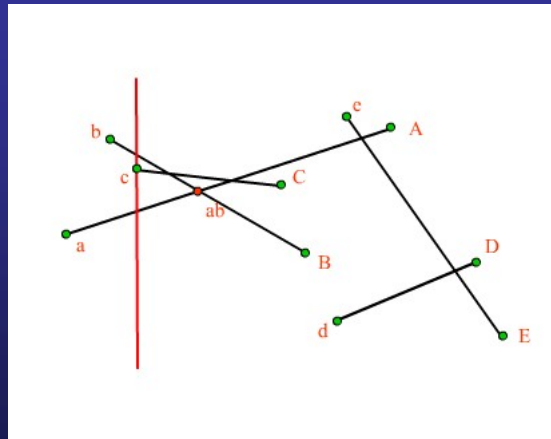
Event: b c **ab** C B d e A D E

Let's trace ...

Intersect:

bB

aA



Insert bc
Insert ac
Add cC

Event: c **ab** C B d e A D E

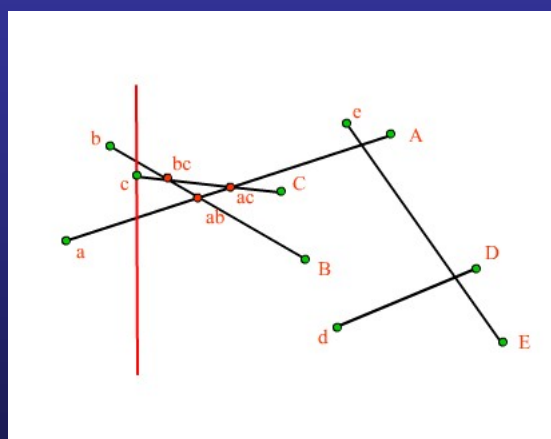
Let's trace ...

Intersect:

bB

cC

aA

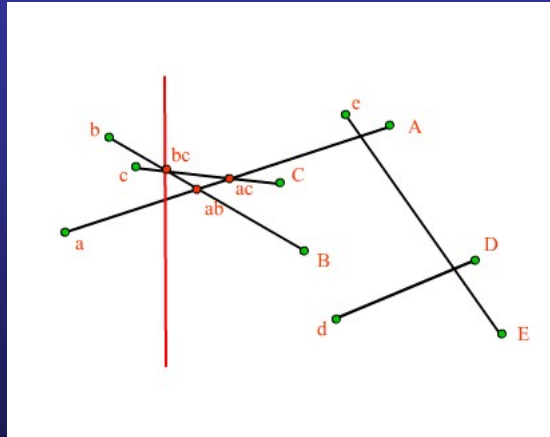


Event: c **bc** **ab** **ac** C B d e A D E

Let's trace ...

Intersect:

bB
cC
aA



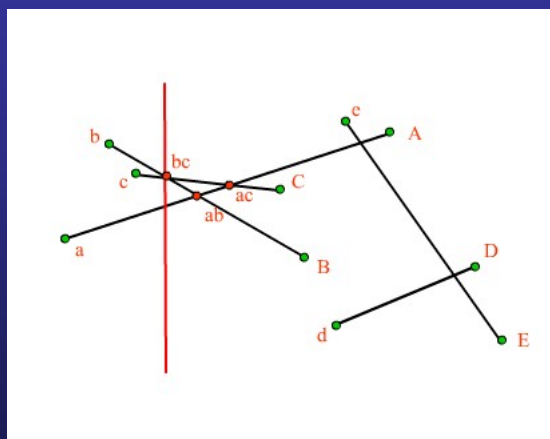
Count bc
Swap bB-cC

Event: bc ab ac C B d e A D E

Let's trace ...

Intersect:

cC
bB
aA



Event: bc ab ac C B d e A D E

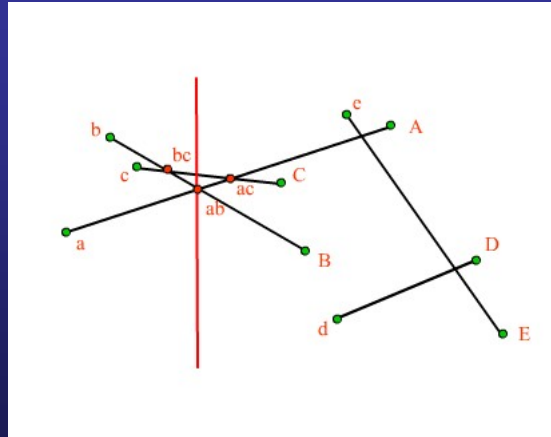
Let's trace ...

Intersect:

cC

bB

aA



Count ab
Swap aA-bB

Event: ab ac C B d e A D E

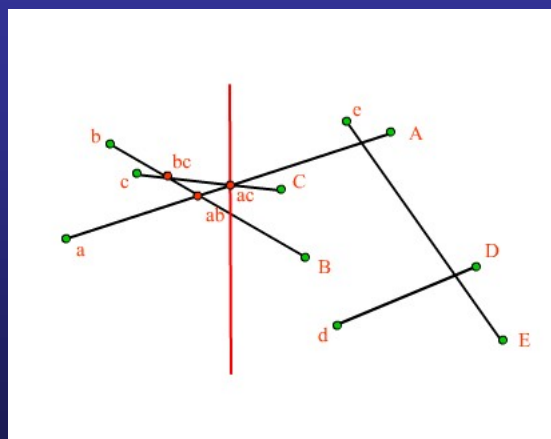
Let's trace ...

Intersect:

cC

aA

bB



Count ac
Swap aA-cC

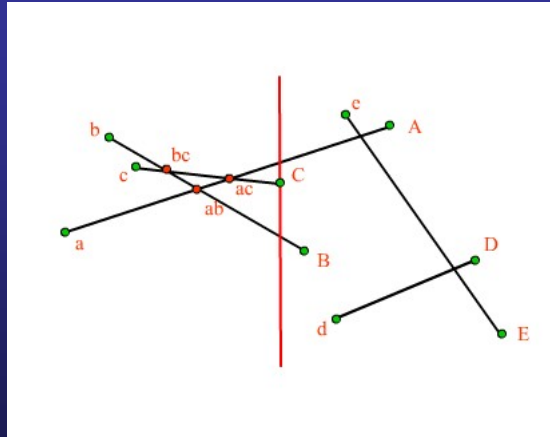
Event: ac C B d e A D E

Let's trace ...

Intersect:

- aA
- cC
- bB

Remove cC



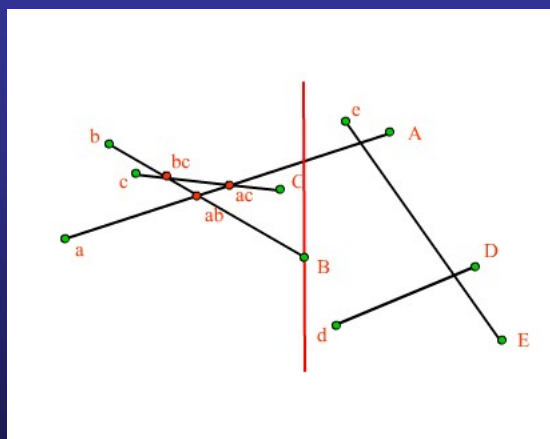
Event: C B d e A D E

Let's trace ...

Intersect:

- aA
- bB

Remove bB



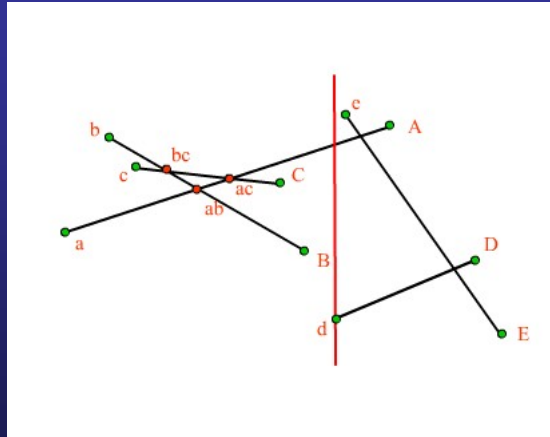
Event: B d e A D E

Let's trace ...

Intersect:

aA

Add dD



Event: d e A D E

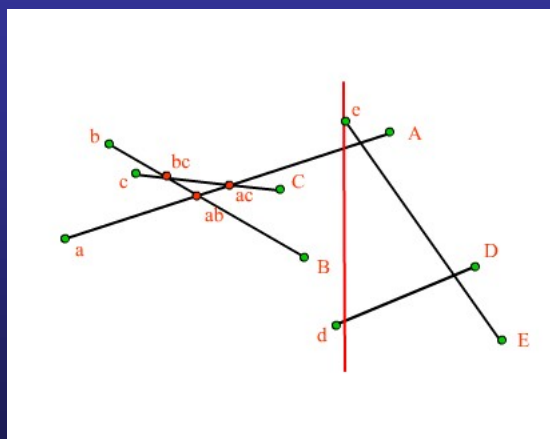
Let's trace ...

Intersect:

aA

dD

Add eE
Insert ae



Event: e A D E

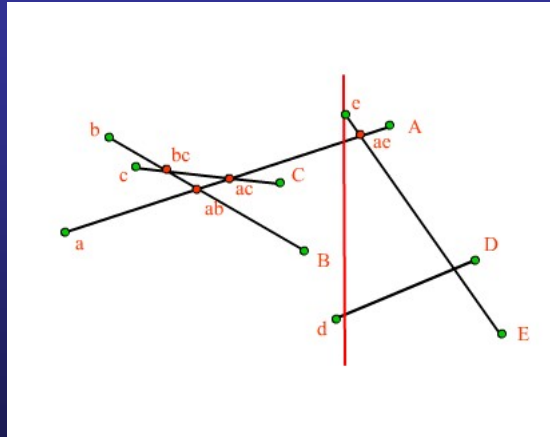
Let's trace ...

Intersect:

eE

aA

dD



Event: e **ae** A D E

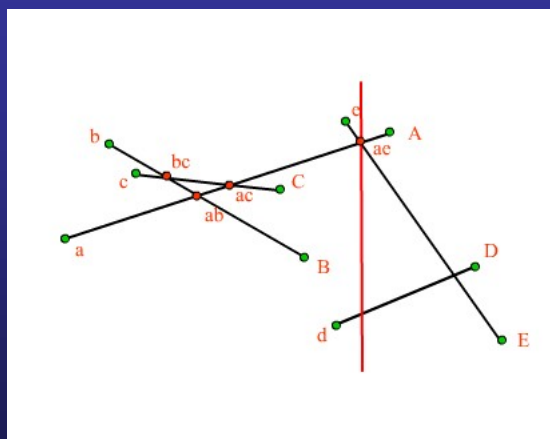
Let's trace ...

Intersect:

eE

aA

dD



Event: **ae** A D E

Count ae
Swap eE-aA
Insert de

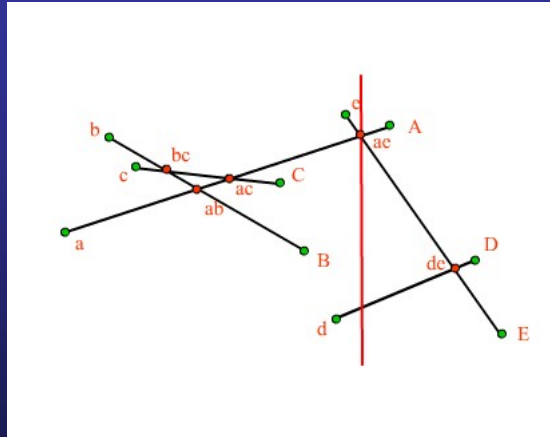
Let's trace ...

Intersect:

aA

eE

dD



Event: ae A de D E

Let's trace ...

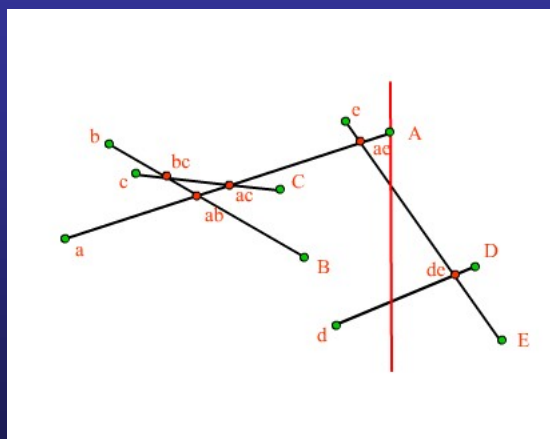
Intersect:

aA

eE

dD

Remove aA



Event: A de D E

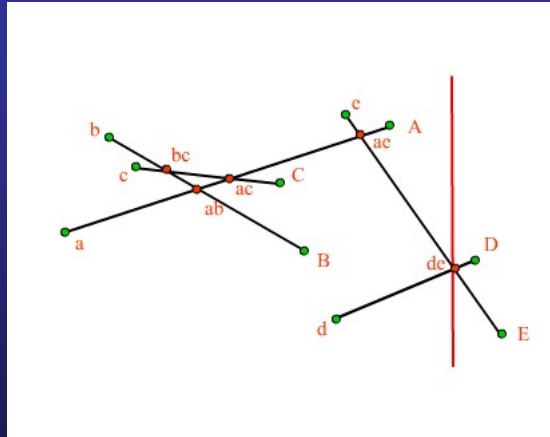
Let's trace ...

Intersect:

eE

dD

Count de
Swap dD-eE



Event: **de** D E

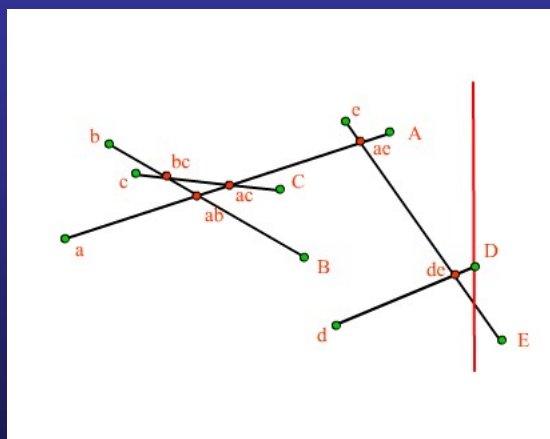
Let's trace ...

Intersect:

dD

eE

Remove dD



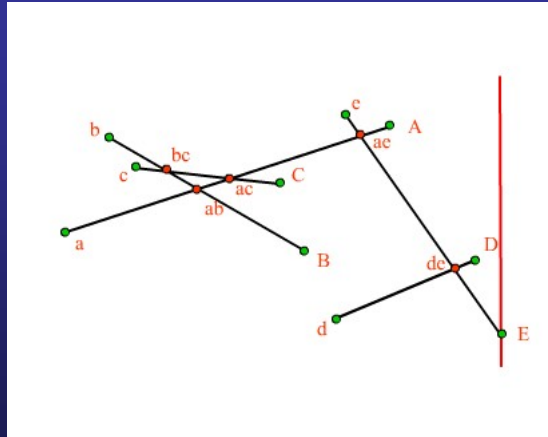
Event: D E

Let's trace ...

Intersect:

eE

Remove eE

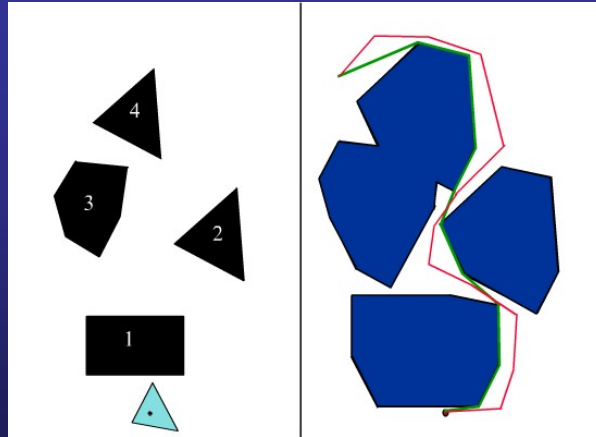


Event: E

Analysis

- Sorting points takes $O(n \lg(n))$.
- Event queue is implemented using heap: insertion, deletion take $O(\lg(n))$.
- Intersection list is implemented using balanced binary tree: insertion, deletion take $O(\lg(n))$
- Swapping can occur only at intersection event points, suppose there are I intersection events.
- The algorithm therefore runs in $O(n \lg(n) + I \lg(n))$.

Visibility Graph



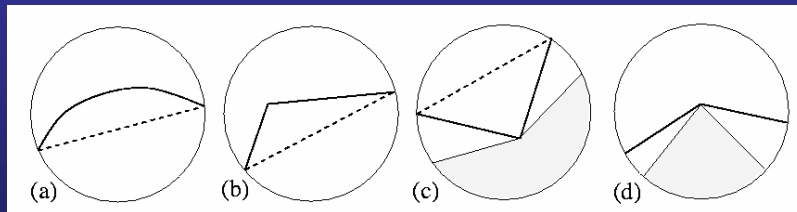
Is this the shortest path possible?

The shortest path between any two points s and t that avoids a set of polygonal obstacles is a polygonal curve, whose vertices are either vertices of the obstacles or the points s and t .

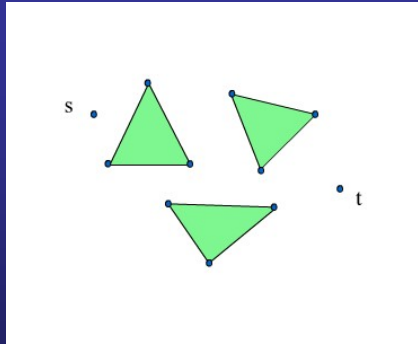
Proof



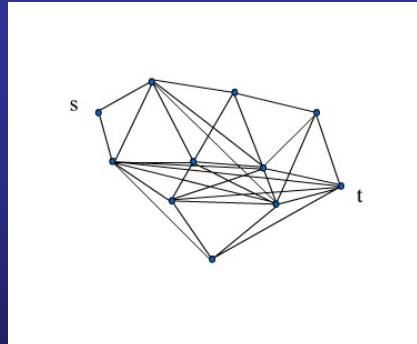
Zooming in...



Definition: The visibility graph of s and t and the obstacle set is a graph whose vertices are s , t and the obstacle vertices, and vertices v and w are joined by an edge if v and w are either mutually visible or if (v,w) is an edge of some obstacle.

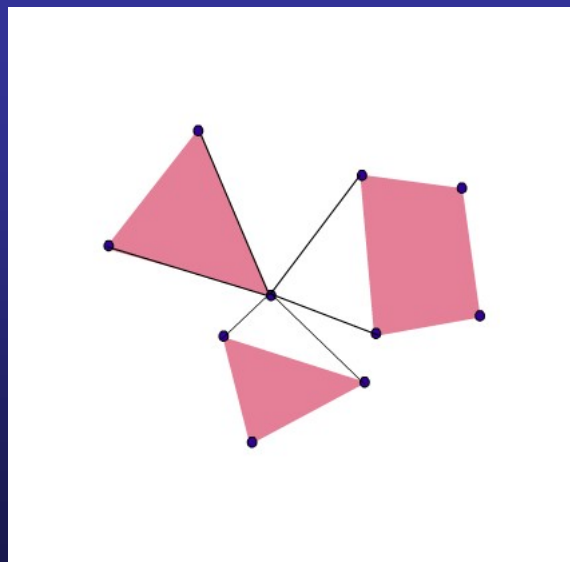


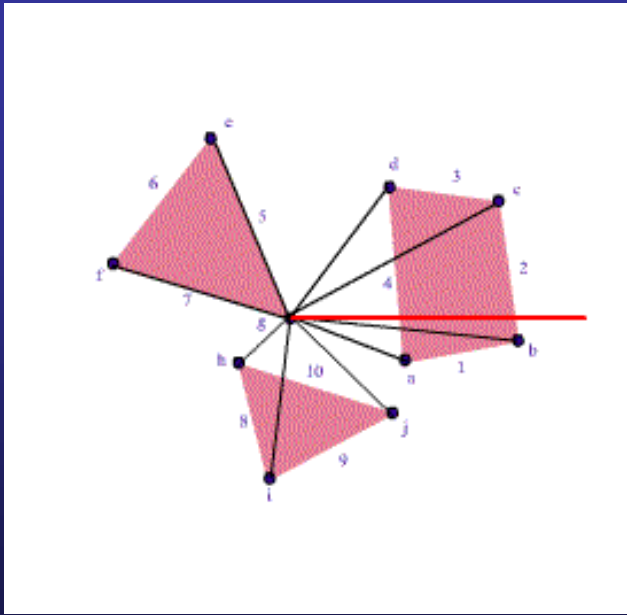
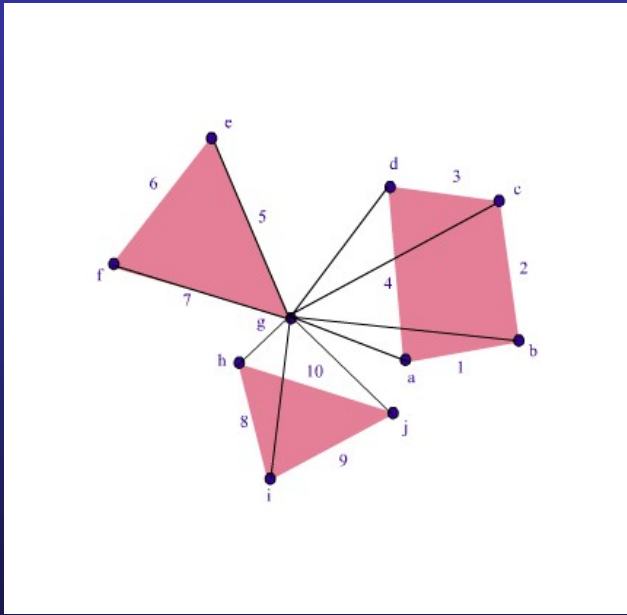
Obstacles with vertices s and t



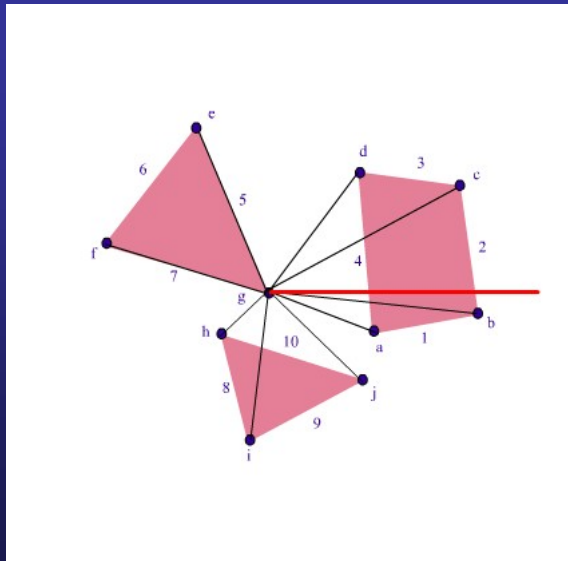
Corresponding visibility graph

Computing Visibility Graph





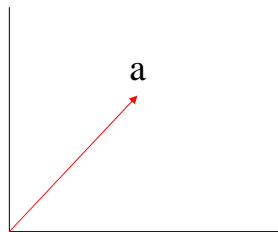
Let's trace...

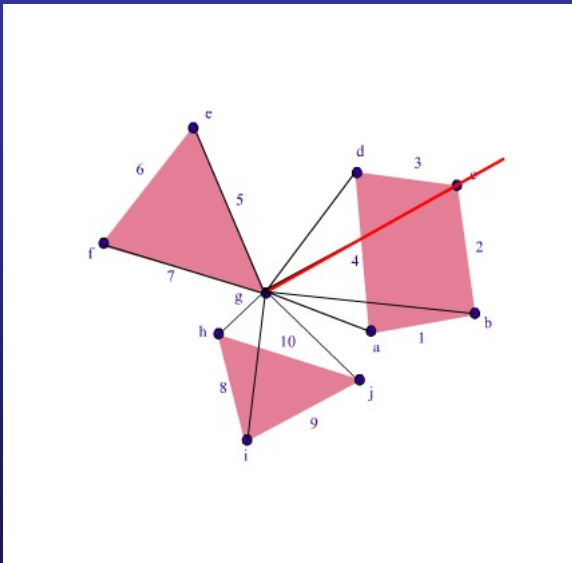


Sorting event points by their angles takes $O(n \lg(n))$.

Computing angle of vector \mathbf{a} with respect to the x-axis...

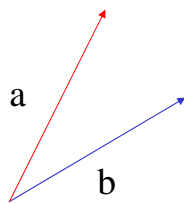
$$\mathbf{a} = |\mathbf{a}| (\cos \theta, \sin \theta)$$





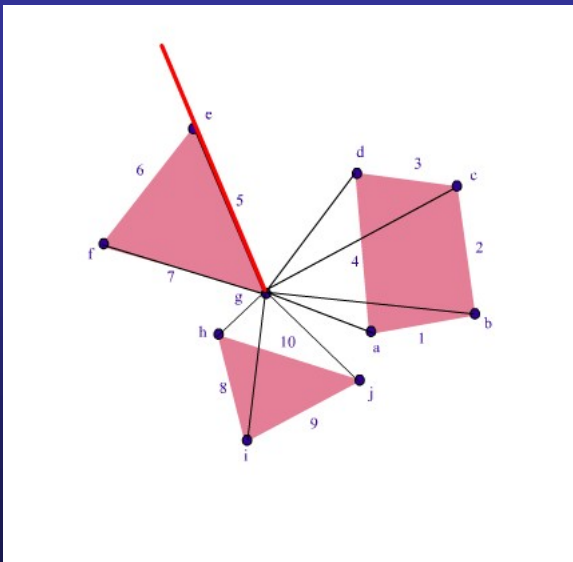
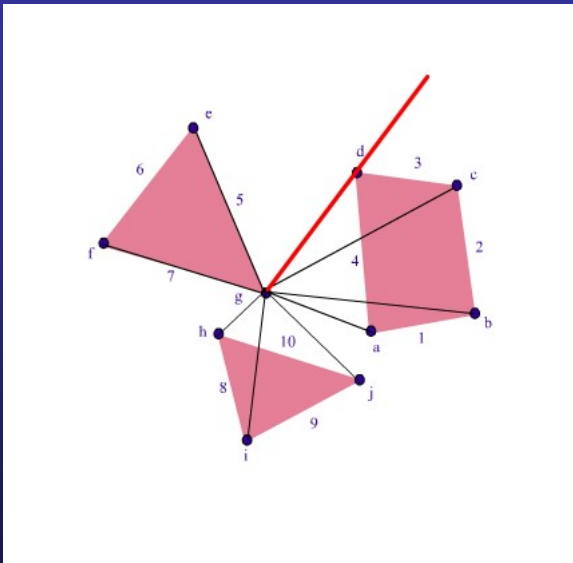
Orientation Checking...

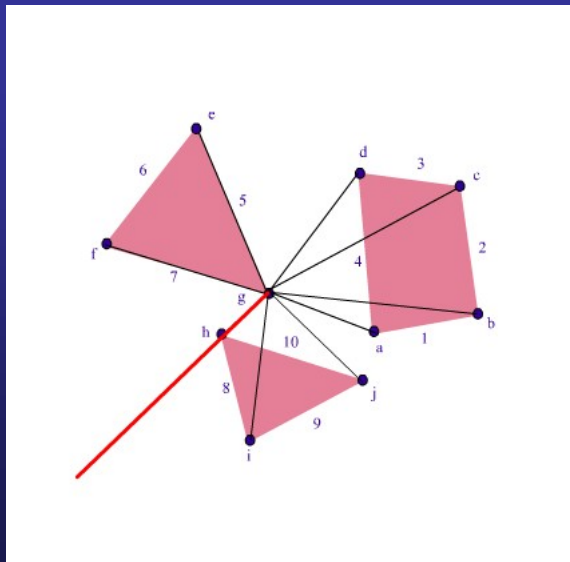
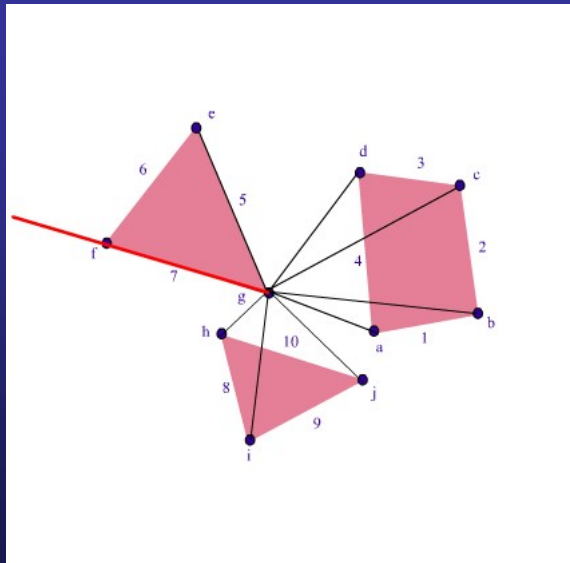
Vector **a** is in the counterclockwise side of vector **b** iff $|\mathbf{b} \times \mathbf{a}| > 0$.

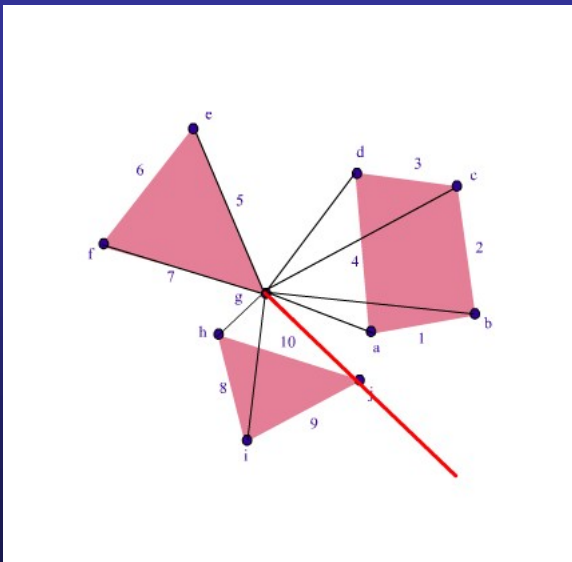
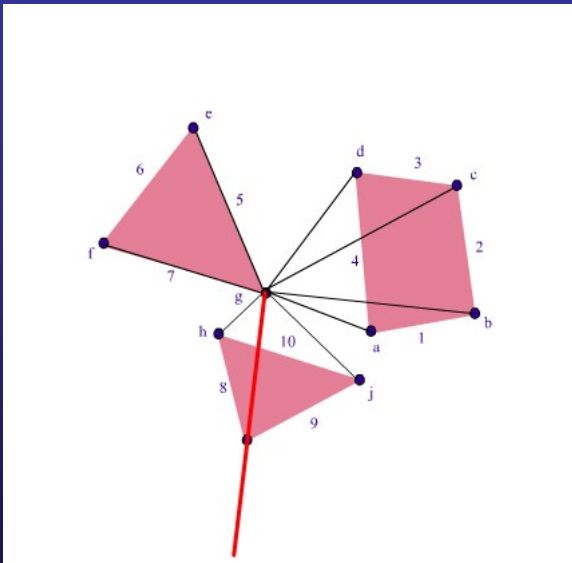


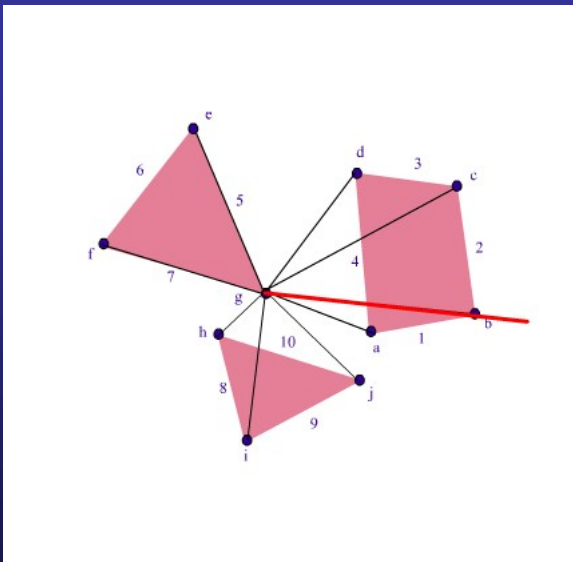
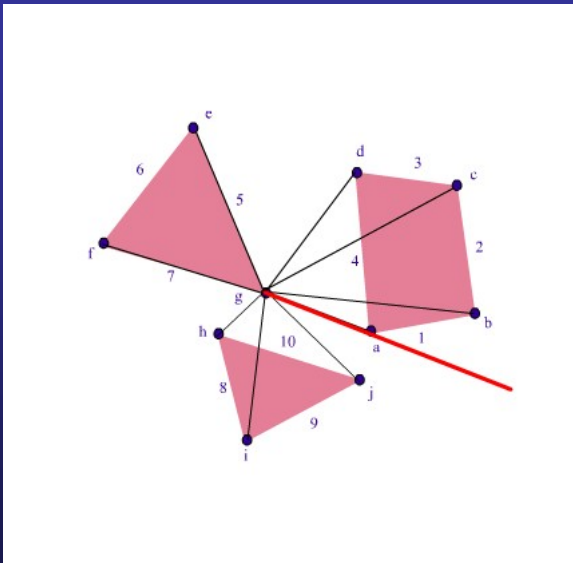
$$\mathbf{a} \times \mathbf{b} =$$

$$\begin{vmatrix} \mathbf{i} & \mathbf{j} & \mathbf{k} \\ a_x & a_y & 0 \\ b_x & b_y & 0 \end{vmatrix} = (a_x b_y - a_y b_x) \mathbf{k}$$





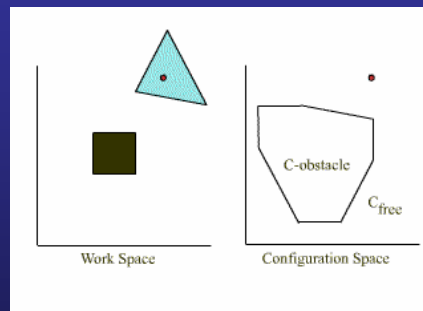
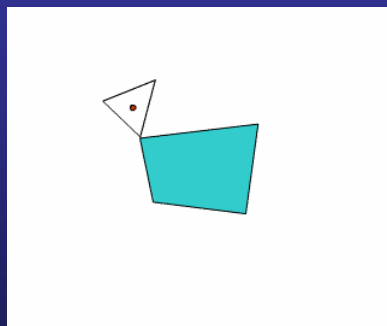




Analysis

- Sorting takes $O(n \lg(n))$
- Computing intersection at $\theta=0$ takes $O(n)$
- At each event, insertion, deletion take $O(\lg(n))$ using balanced binary tree
- We have to repeat all these steps for all n points, therefore the entire computation takes $O(n^2 \lg(n))$.

Minkowski Sum



เราสามารถคำนวณสิ่งกีดขวางใน C-Space ได้โดยใช้ Minkowski Sum

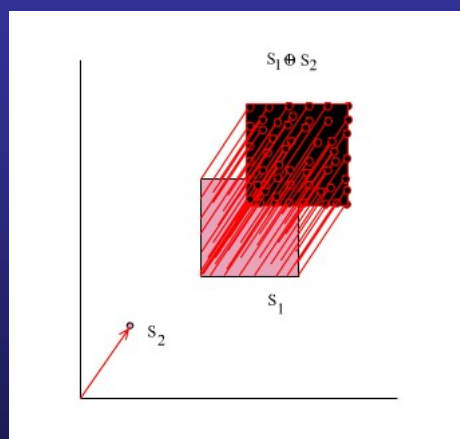
นิยาม

สำหรับเซตของเวกเตอร์ A และ B ใดๆ นั้น ผลรวมมิงคอฟสกีของ A และ B เขียนแทนได้ด้วย $A \oplus B$ และมีนิยามคือ

$$A \oplus B = \{\mathbf{a} + \mathbf{b} \mid \mathbf{a} \in A \wedge \mathbf{b} \in B\}$$

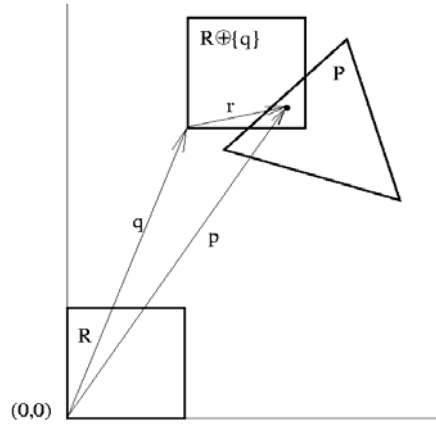
ซึ่งก็คือเซตของเวกเตอร์ทั้งหมดที่ได้จากการบวกคู่ของเวกเตอร์ใดๆ โดยเวกเตอร์หนึ่งมาจากเซต A และอีกเวกเตอร์มาจากเซต B

Minkowski sum of S_1 and S_2

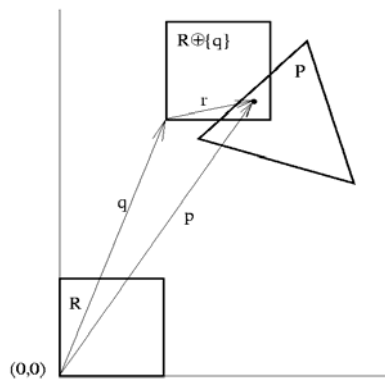


ถ้า $S_2 = \{\mathbf{q}\}$ เหมือนกับการเลื่อน S_1 ไปด้วยเวกเตอร์ \mathbf{q}

พิจารณาหุ่นยนต์ R และสิ่งกีดขวาง P

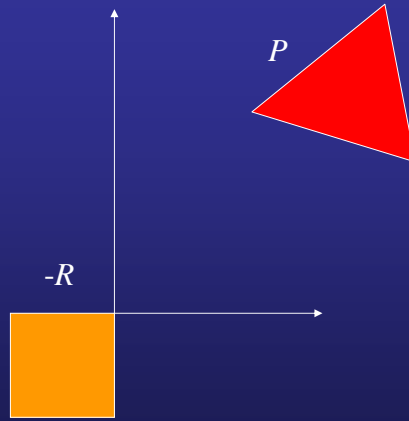


หุ่นยนต์ R ที่เลื่อนไปด้วยเวกเตอร์ q เรียกว่า หุ่นยนต์ R ที่ configuration q
 Configuration ต้องห้ามคือ configuration ที่เลื่อนหุ่นไปทับกับสิ่งกีดขวาง



เรารู้ว่า q เป็นคอนฟิกูเรชันต้องห้ามก็ต่อเมื่อมีบางเวกเตอร์ $r \in R$ และ $p \in P$ ที่ทำให้ $q + r = p$ หรือเราจะกล่าวได้ว่าสำหรับ คู่เวกเตอร์ $r \in R$ และ $p \in P$ ใดๆ จะได้ว่า $q = p - r$ เป็นคอนฟิกูเรชันต้องห้าม นั่นก็คือเราจะได้ว่า $C\text{-Obstacle} = P \oplus (-R)$ โดยที่ $-R = \{-a \mid a \in R\}$

คำนวณผลรวมมิงคอฟสกี



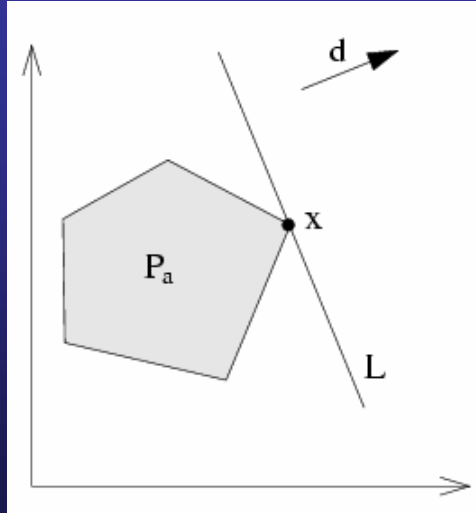
Naive approach: บวกทุกคู่ของจุดยอดของ P กับ R แล้วหา convex hull ของผลลัพธ์ที่ได้

Lemma 1: กำหนดให้ A และ B เป็นเซตของเวกเตอร์ทั้งหมดจากจุดกำเนิดไปยังแต่ละจุดในรูปหลายเหลี่ยมคอนเวกซ์สองรูป เราจะได้ว่า $A \oplus B$ เป็นเซตของเวกเตอร์ที่ชี้ไปยังจุดทั้งหมดในรูปหลายเหลี่ยมแบบคอนเวกซ์เช่นกัน

พิสูจน์ ให้ $C = A \oplus B$ และสมมุติขัดแย้งว่า C ไม่เป็นเซตคอนเวกซ์ นั่นคือมี $\mathbf{c}_1, \mathbf{c}_2 \in C$ ซึ่งเวกเตอร์ทั้งหมดที่ชี้ไปยังส่วนของเส้นตรง $\mathbf{c}_1\mathbf{c}_2$ ไม่ได้อยู่ใน C ทั้งหมด ให้ $\mathbf{c}_1 = \mathbf{a}_1 + \mathbf{b}_1$ และ $\mathbf{c}_2 = \mathbf{a}_2 + \mathbf{b}_2$ โดยที่ $\mathbf{a}_1, \mathbf{a}_2 \in A$ และ $\mathbf{b}_1, \mathbf{b}_2 \in B$ (เพราะ $\mathbf{c}_1, \mathbf{c}_2 \in C$ จึงต้องมี $\mathbf{a}_1, \mathbf{a}_2, \mathbf{b}_1, \mathbf{b}_2$ อยู่จริง)

กำหนดให้ $\mathbf{c}' = \mathbf{c}_1 + \lambda(\mathbf{c}_2 - \mathbf{c}_1)$ โดยที่ $\lambda \in [0, 1]$ เป็นเวกเตอร์ที่ชี้ไปยังจุดบนส่วนของเส้นตรง $\mathbf{c}_1\mathbf{c}_2$ เราเขียนใหม่ได้ว่า $\mathbf{c}' = \mathbf{a}' + \mathbf{b}'$ โดยที่ $\mathbf{a}' = \mathbf{a}_1 + \lambda(\mathbf{a}_2 - \mathbf{a}_1)$ และ $\mathbf{b}' = \mathbf{b}_1 + \lambda(\mathbf{b}_2 - \mathbf{b}_1)$ แต่ $\mathbf{a}' \in A$ และ $\mathbf{b}' \in B$ เพราะ A และ B เป็นเซตคอนเวกซ์ ดังนั้นได้ว่า \mathbf{c}' อยู่ใน $A \oplus B$ \square

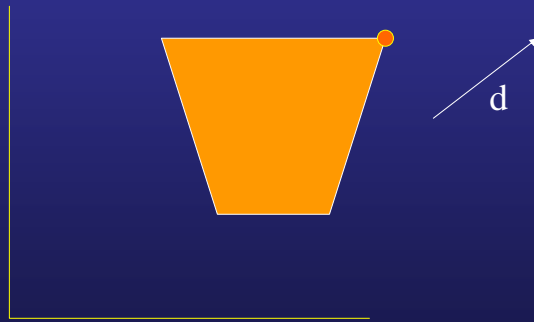
จุดสุดขีด (extreme point) ของ P_a ในทิศทาง d



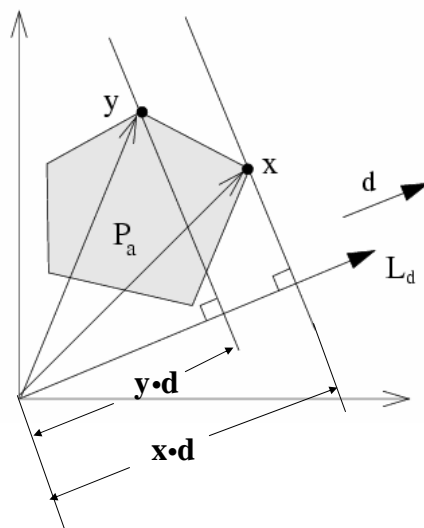
Definition: given a vector d , a point p is an **extreme point** in direction d if it maximizes the dot product $p \cdot d$



Definition: given a vector \mathbf{d} , a point \mathbf{p} is an **extreme point** in direction \mathbf{d} if it maximizes the dot product $\mathbf{p} \cdot \mathbf{d}$



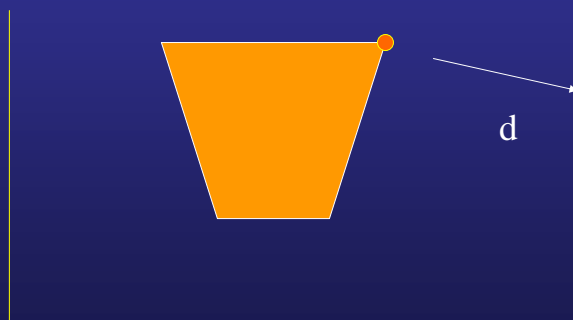
กำหนดให้ $|\mathbf{d}| = 1$



Definition: given a vector \mathbf{d} , a point \mathbf{p} is an **extreme** point in direction \mathbf{d} if it maximizes the dot product $\mathbf{p} \cdot \mathbf{d}$



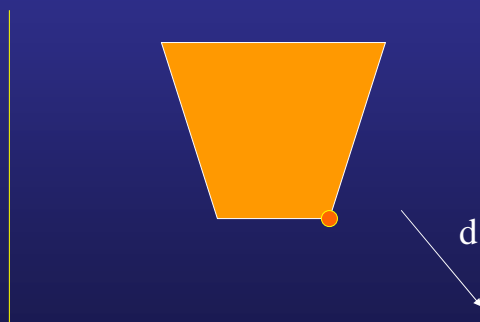
Definition: given a vector \mathbf{d} , a point \mathbf{p} is an **extreme** point in direction \mathbf{d} if it maximizes the dot product $\mathbf{p} \cdot \mathbf{d}$



Definition: given a vector \mathbf{d} , a point \mathbf{p} is an **extreme** point in direction \mathbf{d} if it maximizes the dot product $\mathbf{p} \cdot \mathbf{d}$



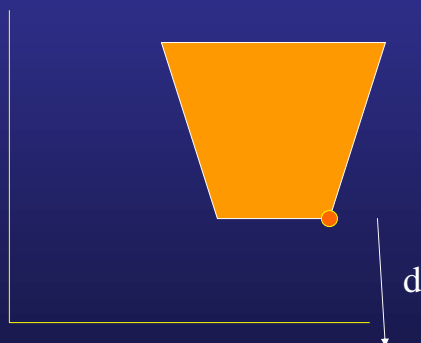
Definition: given a vector \mathbf{d} , a point \mathbf{p} is an **extreme** point in direction \mathbf{d} if it maximizes the dot product $\mathbf{p} \cdot \mathbf{d}$



Definition: given a vector \mathbf{d} , a point \mathbf{p} is an **extreme** point in direction \mathbf{d} if it maximizes the dot product $\mathbf{p} \cdot \mathbf{d}$



Definition: given a vector \mathbf{d} , a point \mathbf{p} is an **extreme** point in direction \mathbf{d} if it maximizes the dot product $\mathbf{p} \cdot \mathbf{d}$



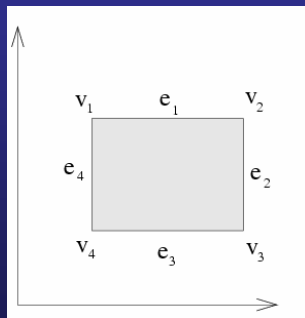
Definition: given a vector \mathbf{d} , a point \mathbf{p} is an **extreme** point in direction \mathbf{d} if it maximizes the dot product $\mathbf{p} \cdot \mathbf{d}$



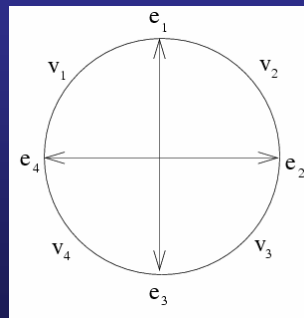
Definition: given a vector \mathbf{d} , a point \mathbf{p} is an **extreme** point in direction \mathbf{d} if it maximizes the dot product $\mathbf{p} \cdot \mathbf{d}$



จุดสุดขีด (extreme point) ของรูป P ในทิศทาง d ก็คือจุด
ของรูป P ที่อยู่ไกลสุดในทิศทาง d



รูป P



แสดงจุดสุดขีดของ P ในทิศทางต่างๆ

Observation: given two convex polygon P and R , the set of extreme points of $P \oplus R$ in direction d is the set of sums of points p in P and points r in R that are extreme in direction d .

True because of linearity of the dot product, namely,
 $(p+r) \cdot d = p \cdot d + r \cdot d$

That is, let

P_d and R_d be the set of extreme points of P and R in direction d .

The set of extreme points in direction d of $P \oplus R$ is

$$P_d \oplus R_d$$

หมายความว่า

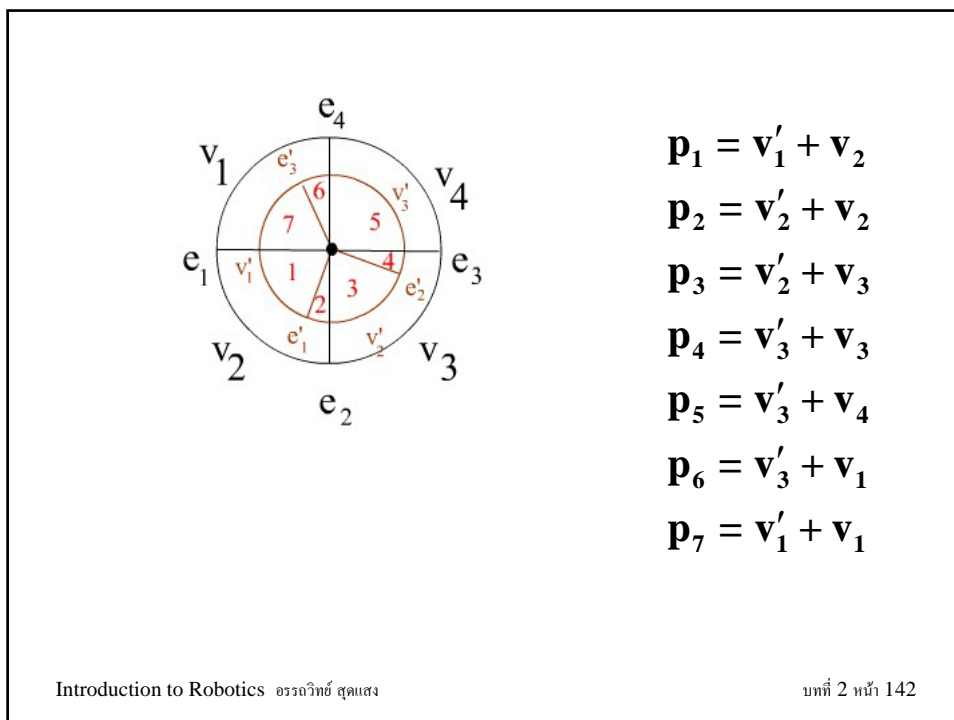
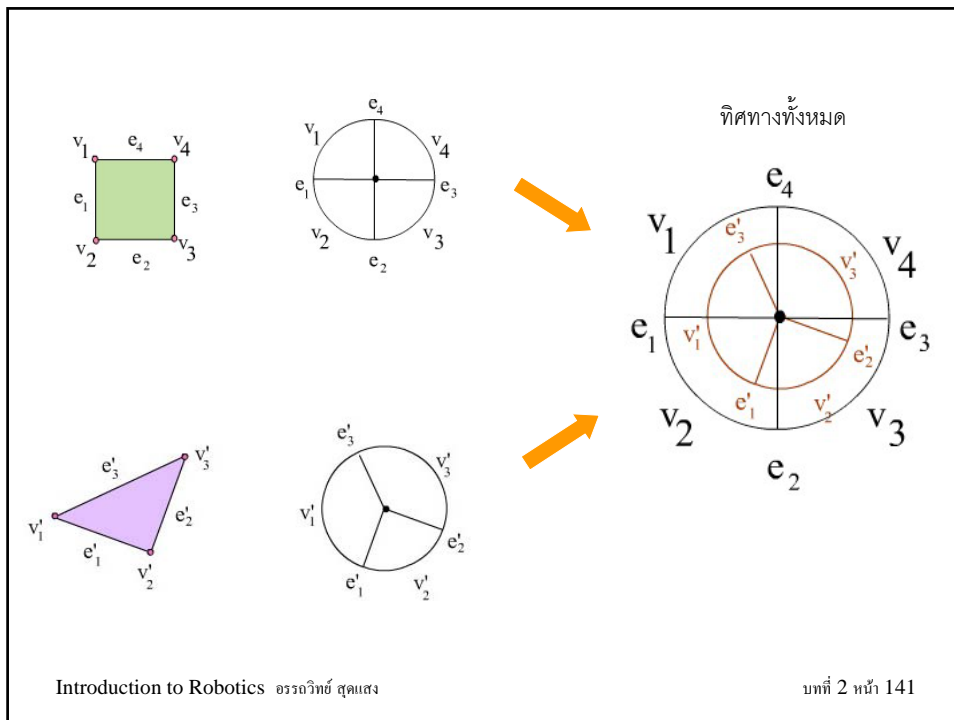
ที่ทิศทาง d ใดๆ ถ้าจุด c เป็นจุดสุดขีดของ $P \oplus R$ แล้วละก็ c เป็นผลบวกของจุดสุดขีดในทิศทาง d ของ P และ R

พิสูจน์ เราสามารถเขียนได้ว่า $c = a + b$ สำหรับ $a \in A$ และ $b \in B$ ความสมมาตรของ $c = a + b$ ทำให้เพียงพอที่จะสมมติขัดแย้งว่า a ไม่ใช่เวกเตอร์สุดขีดของ A ในทิศทาง d นั่นคือมี $a' \in A$ ซึ่ง $a' \cdot d > a \cdot d$

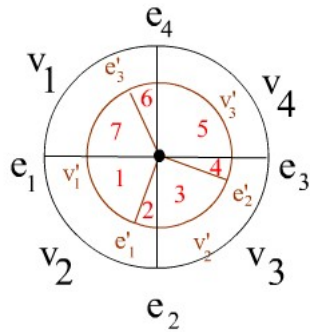
เมื่อพิจารณา $c' = a' + b$ ด้วยคุณสมบัติการกระจายของผลคูณภายใน เราได้ว่า $c' \cdot d = a' \cdot d + b \cdot d > c \cdot d$ ทำให้ c ไม่ใช่เวกเตอร์สุดขีดในทิศทาง d ขัดแย้งกับที่กำหนดไว้ \square

เมื่อ P และ R เป็นรูปหลายเหลี่ยมคอนเวกซ์ เรารู้ว่า $P \oplus R$ ก็เป็นรูปหลายเหลี่ยมคอนเวกซ์ด้วย ซึ่งจุดสุดขีดของ $P \oplus R$ ในทิศทาง d ใดๆ ก็เป็นผลบวกของจุดสุดขีดของ P และ R ในทิศทางนั้น

ดังนั้นเราสามารถคำนวณ $P \oplus R$ ได้โดยหาจุดสุดขีดในทุกๆ ทิศทางโดยบวกจุดสุดขีดของ P และ R ในแต่ละทิศทาง



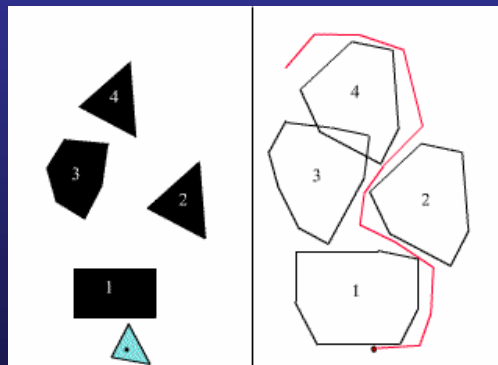
$$\begin{aligned}
 \mathbf{p}_1 &= \mathbf{v}'_1 + \mathbf{v}_2 \\
 \mathbf{p}_2 &= \mathbf{v}'_2 + \mathbf{v}_2 \\
 \mathbf{p}_3 &= \mathbf{v}'_2 + \mathbf{v}_3 \\
 \mathbf{p}_4 &= \mathbf{v}'_3 + \mathbf{v}_3 \\
 \mathbf{p}_5 &= \mathbf{v}'_3 + \mathbf{v}_4 \\
 \mathbf{p}_6 &= \mathbf{v}'_3 + \mathbf{v}_1 \\
 \mathbf{p}_7 &= \mathbf{v}'_1 + \mathbf{v}_1
 \end{aligned}$$



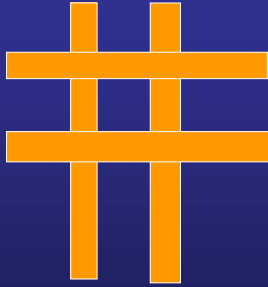
Given two convex polygon P and R with m and n edges, their minkowski sum $P \oplus R$ can be computed in $O(m+n)$ time and consists at most $m+n$ edges.

แต่เรามีผลรวมมิงคอฟสกีหลายชิ้นมายูเนียนกัน

ยูเนียนของมันจะมีจำนวนเส้นขอบเท่าไร



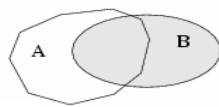
จะเป็นอย่างนี้ได้ไหม? $O(n^2)$



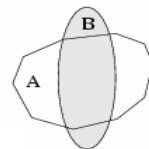
ไม่มีทางเพราะ C-Obstacle ที่ได้จากผลรวมมิงคอฟสกี
ไม่ทับกันอย่างนั้น

เพราะมันเป็นแผ่นกลมเทียม (pseudodisk)

A และ B เป็นแผ่นกลมเทียมถ้า A-B และ B-A เป็นชิ้นเดียว



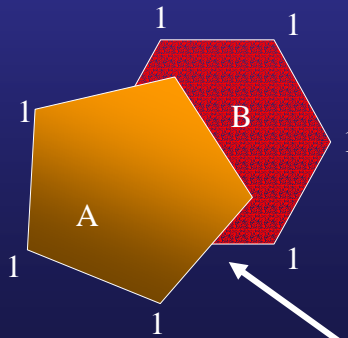
เป็น



ไม่เป็น

แล้วยูเนียนของแผ่นกลมทึบที่เป็นรูปหลายเหลี่ยมจะมีจำนวนเส้นขอบเท่าไร ?

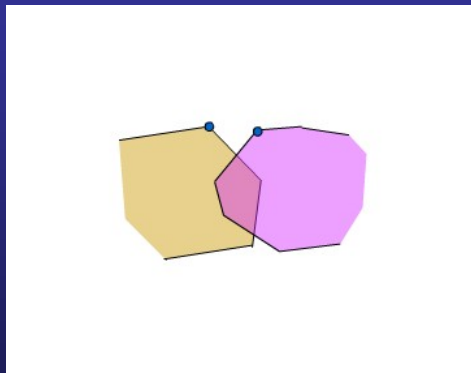
ก็ลองนับจุดยอดของยูเนียนดู โดยให้นับว่าทุกจุดยอดรอบยูเนียนมีประจุดละหนึ่ง แต่ละประจุดต้องเอาไปฝาก โดยฝากได้เฉพาะที่จุดยอดของ A และ B เท่านั้น จุดยอดของ A และ B ที่เป็นจุดยอดของยูเนียนก็ฝากไว้ที่ตัวมันเอง แล้วจุดยอดของยูเนียนที่เกิดจากการตัดกันล่ะ



Introduction to Robotics อรรถวิทย์ สุดแสง

แล้วจุดยอดนี้ล่ะ
บทที่ 2 หน้า 147

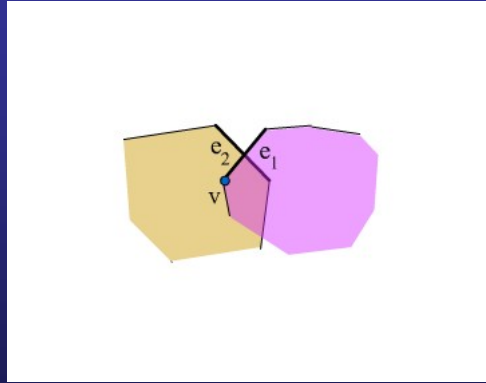
พิจารณาการตัดกันของเส้นขอบ



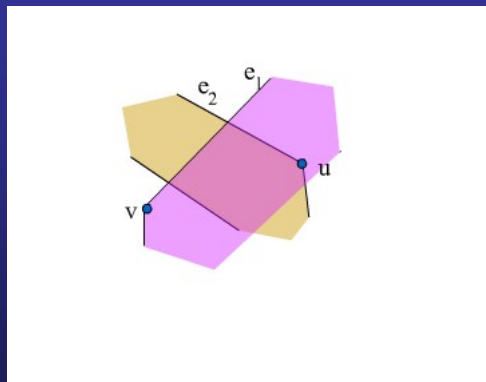
Introduction to Robotics อรรถวิทย์ สุดแสง

บทที่ 2 หน้า 148

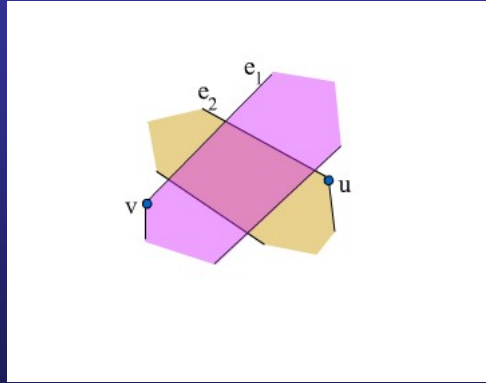
ถ้าตัดกันแบบนี้โดยมีจุดปลาย e_1 อยู่
ภายในก็ให้นำประจุของจุดตัดไปฝากไว้ได้



แต่ถ้าจุดปลาย e_1 ทะลุผ่านให้พิจารณาจุด
ปลายของ e_2 ถ้ามันอยู่ภายใน ก็ให้ฝากได้



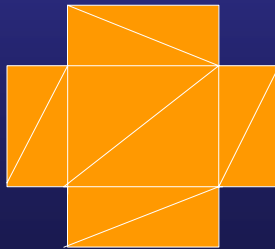
แต่ถ้าไม่จะเห็นได้ว่าแต่ละรูปถูกอีกรูปหนึ่งตัดผ่าน ซึ่งเป็นไปไม่ได้ถ้ามันเป็นแผ่นกลมเทียม



So, the number of vertices in the union of a collection of pseudodisks with a total of n vertices is at most $2n = O(n)$.

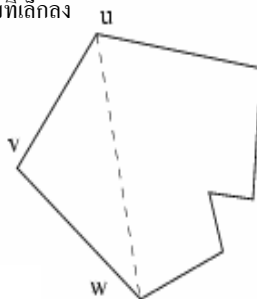
แล้วในกรณีที่สิ่งกีดขวางไม่เป็นคอนเวกซ์ล่ะ

เราก็สามารถแบ่งมันเป็นสามเหลี่ยมแล้วหา C-Obstacle จากนั้นนำผลลัพธ์มายูเนียนกัน

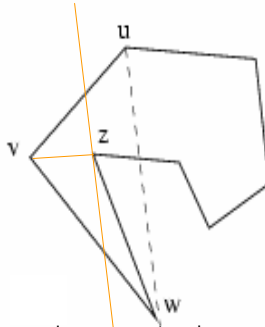


สิ่งกีดขวางรูป n เหลี่ยมที่ไม่เป็นคอนเวกซ์สามารถแบ่งเป็นสามเหลี่ยม $n-2$ รูปได้เสมอ

พิสูจน์ พิจารณาจุดยอดที่อยู่ซ้ายสุด หากมีมากกว่าหนึ่งให้เลือกจุดที่ต่ำสุด ให้ชื่อว่าเป็น v และเรียกจุดยอดทั้งสองที่ติดกับมันว่า u และ w พิจารณาสามเหลี่ยม uvw ถ้าไม่จุดยอดอื่นในสามเหลี่ยมนี้ เราสามารถลากเส้น uw เพื่อแบ่งเป็นรูปเหลี่ยมเป็นรูปสามเหลี่ยมกับรูปเหลี่ยมที่เล็กลง



แต่ถ้ามีจุดอื่นอยู่ในสามเหลี่ยม ให้เลือกจุดที่อยู่ไกลจากเส้น uw มากที่สุด เรียกมันว่า z (เมื่อพิจารณาเส้นที่ขนานกับ uw และผ่านจุด z จะได้ว่าไม่มีเส้นขอบใดอยู่ทางซ้ายของเส้นนี้และอยู่ภายในสามเหลี่ยม uvw) ดังนั้นเราสามารถลากเส้น vz โดยไม่ตัดกับเส้นขอบใด นั่นก็คือเราสามารถแบ่งรูปเหลี่ยมที่ให้ออกเป็นรูปเหลี่ยมที่เล็กลง



จะเห็นได้ว่ารูปหลายเหลี่ยมสองรูปเล็กมีจำนวนด้านเป็น $n - k + 1$ และ $k + 1$ ซึ่งตามสมมุติฐานจะมีจำนวนสามเหลี่ยมทั้งหมด $[(n - k + 1) - 2] + [(k + 1) - 2] = n - 2$ □

Lemma 1: given a set of convex objects T_1, T_2, \dots, T_n with disjoint interior and a convex object R . The set

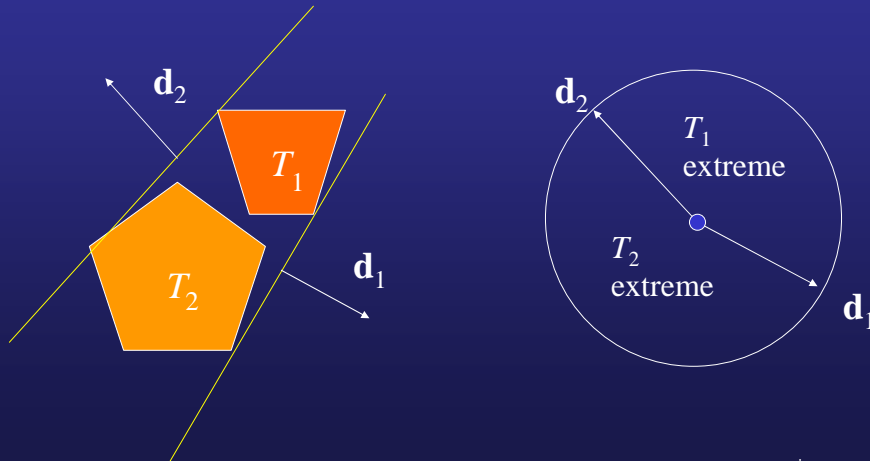
$$\{T_i \oplus R \mid 1 \leq i \leq n\}$$

is a collection of pseudodisks.

Proof: Consider two convex polygons T_1 and T_2 with disjoint interior, we want to show that $T_1 \oplus R$ and $T_2 \oplus R$ do not cross over one another.

Recall the condition for a point to be extreme in a given direction \mathbf{d} ...

Observation For T_1 and T_2 , we have a double tangents. Let \mathbf{d}_1 and \mathbf{d}_2 be the outward pointing perpendicular vectors of these tangents.

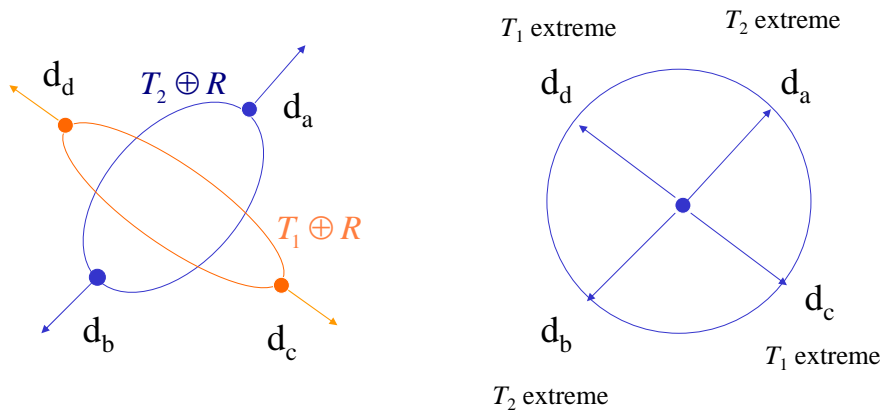


p is an extreme point of $T_1 \oplus R$ in direction d ,
then there exist:

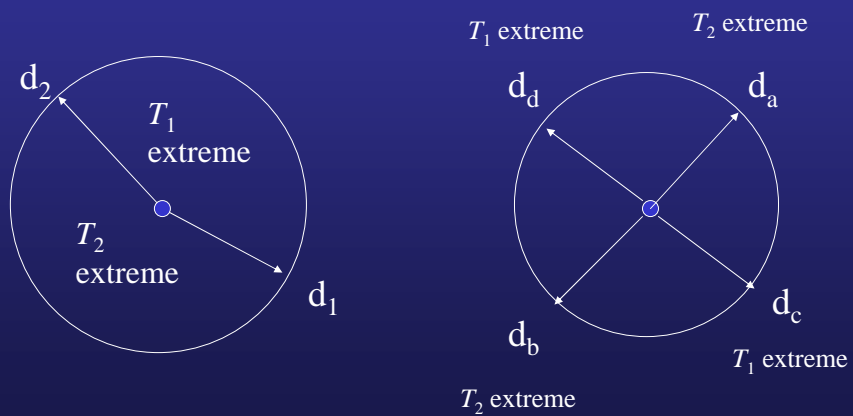
t_1 = an extreme point of T_1 in direction d
 r = an extreme point of R in direction d

Such that $p = t_1 + r$

Suppose the Lemma isn't true. That is there exist T_1 and T_2 such that $T_1 \oplus R$ and $T_2 \oplus R$ cross over.



But wait... this is not possible. Recall from the observation how the extremity switches.



Therefore,

Lemma 1: given a set of convex objects T_1, T_2, \dots, T_n with disjoint interior and a convex object R . The set

$$\{T_i \oplus R \mid 1 \leq i \leq n\}$$

is a collection of pseudodisks.